

UNIVERSITAS INDONESIA

**RANCANG BANGUN FILTER CAVITY SILINDRIS YANG
DIBEBANI DIELEKTRIK PORCELAIN UNTUK APLIKASI
WiMAX PADA FREKUENSI 2,3 GHz**

SKRIPSI

MUHAMAD TAJUDIN

0405030575

**FAKULTAS TEKNIK
DEPARTEMEN TEKNIK ELEKTRO
DEPOK
JUNI, 2010**



UNIVERSITAS INDONESIA

**RANCANG BANGUN FILTER CAVITY SILINDRIS YANG
DIBEBANI DIELEKTRIK PORCELAIN UNTUK APLIKASI
WiMAX PADA FREKUENSI 2,3 GHz**

SKRIPSI

**Diajukan untuk melengkapi
sebagian persyaratan menjadi sarjana teknik**

MUHAMAD TAJUDIN

04 05 03 0575

**DEPARTEMEN TEKNIK ELEKTRO
FAKULTAS TEKNIK UNIVERSITAS INDONESIA
JUNI, 2010**

HALAMAN PERNYATAAN ORISINALITAS

Skripsi ini adalah hasil karya saya sendiri,
dan semua sumber baik yang dikutip maupun dirujuk
telah saya nyatakan dengan benar.

Nama : Muhamad Tajudin

NPM : 0405030575

Tanda Tangan :

Tanggal : 14 Juni 2010

HALAMAN PENGESAHAN

Skripsi ini diajukan oleh :
Nama : Muhamad Tajudin
NPM : 0405030575
Program Studi : Teknik Elektro
Judul Skripsi : Rancang Bangun Filter *Cavity* Silindris yang Dibebani Dielektrik Porselein untuk Aplikasi WiMAX pada Frekuensi 2,3 GHz.

Telah berhasil dipertahankan di hadapan Dewan Penguji dan diterima sebagai bagian persyaratan yang diperlukan untuk mata kuliah Skripsi pada Program Studi Teknik Elektro, Fakultas Teknik, Universitas Indonesia

DEWAN PENGUJI

Pembimbing : Prof. Dr. Ir. Eko Tjipto Rahardjo, M.Sc



Penguji : Dr. Fitri Yuli Zulkifli, ST, M.Sc.



Penguji : Ir. Arifin Djauhari MT

Ditetapkan di :

Tanggal :

KATA PENGANTAR

Puji syukur saya panjatkan kepada Allah Subhanahu Wa Ta'ala, karena atas berkat dan rahmat-Nya, saya dapat menyelesaikan skripsi ini. Penulisan skripsi ini dilakukan dalam rangka memenuhi tugas mata kuliah Skripsi di Departemen Teknik Elektro pada Fakultas Teknik Universitas Indonesia. Saya menyadari bahwa, tanpa bantuan dan bimbingan dari berbagai pihak, dari masa perkuliahan sampai pada penyusunan skripsi ini, sangatlah sulit bagi saya untuk dapat menyelesaikan skripsi ini. Oleh karena itu, saya ingin menyampaikan rasa terima kasih saya kepada:

1. Prof. Ir. Eko Tjipto Rahardjo, Msc, PhD, selaku dosen pembimbing pertama yang telah menyediakan waktu, tenaga, dan pikiran untuk mengarahkan saya dalam penyusunan skripsi ini.
2. Dr. Ir. Fitri Yuli Zulkifi, M.Sc, selaku dosen pembimbing kedua yang telah menyediakan waktu, tenaga, dan pikiran untuk mengarahkan saya dalam penyusunan skripsi ini.
3. Orang tua dan keluarga yang telah memberikan bantuan dukungan material dan moral.
4. Rekan-rekan AMRG yang selalu mendorong untuk kemajuan riset.
5. Sahabat yang telah banyak membantu saya dalam menyelesaikan skripsi ini.

Akhir kata, saya berharap Allah SWT berkenan membalaq segala kebaikan semua pihak yang telah membantu. Semoga skripsi ini membawa manfaat bagi pengembangan ilmu

Depok, 14 Juni 2010

Penulis

HALAMAN PERNYATAAN PERSETUJUAN PUBLIKASI SKRIPSI UNTUK KEPENTINGAN AKADEMIS

Sebagai sivitas akademik Universitas Indonesia, saya yang bertanda tangan di bawah ini :

Nama : Muhamad Tajudin
NPM : 0405030575
Program Studi : Teknik Elektro
Departemen : Teknik Elektro
Fakultas : Teknik
Jenis Karya : Skripsi

demi pengembangan ilmu pengetahuan ,menyetujui untuk memberikan kepada Universitas Indonesia **Hak Bebas Royalti Noneksklusif (Non-exclusive Royalty-Free Right)** atas karya ilmiah saya yang berjudul :

Rancang Bangun Filter cavity silindris yang dibebani dielektrik porcelain untuk Aplikasi WiMAX pada Frekuensi 2,3 GHz.

beserta perangkat yang ada (jika diperlukan).Dengan **Hak Bebas Royalti Noneksklusif** ini Universitas Indonesia berhak menyimpan, mengalihmedia/format-kan,mengelola dalam bentuk pangkalan data (database). merawat, dan memublikasikan tanpa meminta izin dari saya selama tetap mencantumkan nama saya sebagai penulis/pencipta dan sebagai pemilik Hak Cipta.

Demikian pernyataan ini saya buat dengan sebenarnya.

Dibuat di : Depok
Pada tanggal :
Yang Menyatakan

(Muhamad Tajudin)

ABSTRAK

Nama : Muhamad Tajudin

Program Studi : Teknik Elektro

Judul : Rancang Bangun Filter *cavity* silindris yang dibebani dielektrik porcelain untuk Aplikasi WiMAX pada Frekuensi 2,3 GHz.

Aplikasi-aplikasi nirkabel, termasuk WiMAX, sangat rentan terhadap interferensi yang disebabkan oleh frekuensi lain yang berdekatan. Untuk menghindari interferensi yang disebabkan oleh aplikasi-aplikasi lain yang memiliki frekuensi kerja berdekatan dibutuhkanlah filter.

Ada berbagai jenis filter dengan kelebihan dan kekurangannya. Dalam skripsi ini, filter *cavtiy* dipilih karena memiliki *insertion loss* yang kecil, memiliki unjuk kerja tinggi, dan dapat digunakan pada aplikasi yang berdaya besar seperti pada WiMAX *base station*.

Karena itu, pada skripsi ini telah dirancang filter *cavity* silindris yang dibebani dielektrik porcelain untuk aplikasi WiMAX pada frekuensi 2,3 GHz. Filter tersebut diharapkan mampu bekerja pada frekuensi 2,3 - 2,4 GHz dengan bandwidth sekitar 100 MHz, ripple $\leqslant 0,5$ dB, dan insertion loss $\leqslant 4$ dB. Pada simulasi, kriteria tersebut sudah terpenuhi. Tetapi setelah proses fabrikasi, bandwidth yang diperoleh sebesar 90 MHz (2,51 GHz – 2,6 GHz), serta adanya peningkatan *ripple* dan *insertion loss*.

Kata kunci: filter *cavity*, filter, dielectric, resonator, WiMAX

ABSTRACT

Nama : Muhamad Tajudin

Program Studi : Electrical Engineering

Judul : Porcelain Dielectric Loaded Cylindrical *Cavity* Filter Design for WiMAX Application at 2.3 GHz.

Wireless applications, including WiMAX, are very susceptible to interference caused by other neighboring frequencies. To avoid interference caused by other applications that have a close working frequency of the system, filter is needed.

There are various types of filters with have advantages and disadvantages. In this thesis, cavity filter was chosen because it has small insertion loss, high performance, and it can be used in high power applications such as on WiMAX bases station.

In this thesis the design of the porcelain dielectric loaded cylindrical *cavity* filters for WiMAX applications at 2.3 GHz frequency has been accomplished. Filters are expected to work at a frequency of 2.3 - 2.4 GHz with a bandwidth of about 100 MHz, ripple \leq 0.5 dB, and insertion loss \leq 4 dB. In the simulation, these criteria are fulfilled. But after the fabrication process, bandwidth obtained is 90 MHz (2.51 GHz - 2.6 GHz), increased ripple and insertion loss.

Key words: filter *cavity*, filter, dielectric, resonator, WiMAX

DAFTAR ISI

HALAMAN JUDUL	i
HALAMAN PERNYATAAN ORISINALITAS	ii
LEMBAR PENGESAHAN	iii
KATA PENGANTAR.....	iv
HALAMAN PERNYATAAN PERSETUJUAN PUBLIKASI SKRIPSI UNTUK KEPENTINGAN AKADEMIS	v
ABSTRAK	vi
DAFTAR ISI	viii
DAFTAR GAMBAR	xi
DAFTAR TABEL	xiii
BAB 1 PENDAHULUAN	1
1.1 LATAR BELAKANG	1
1.2 TUJUAN PENULISAN.....	2
1.3 BATASAN MASALAH.....	2
1.4 SISITEMATIKA PENULISAN	3
BAB 2 FILTER CAVITY	4
2.1 FILTER.....	4
2.1.1 <i>Low-Pass Filter</i>	7
2.1.2 <i>High-Pass Filter</i>	7
2.1.3 <i>Bandpass Filter</i>	8
2.1.4 <i>BandStop Filter</i>	8
2.2 FILTER CAVITY	9
2.2.1 Resonator <i>Cavity</i>	9
2.2.2 Resonator <i>Cavity</i> Segi Empat.....	10
2.2.3 Resonator <i>Cavity</i> Silindris.....	11
2.3 BAHAN DIELEKTRIK.....	13
BAB 3 SIMULASI DAN PERANCANGAN FILTER CAVITY	14
3.1 UMUM.....	14
3.2 PERLENGKAPAN YANG DIGUNAKAN	14

3.3 PERANCANGAN RESONATOR CAVITY SILINDRIS YANG DIBEBANI DIELEKTRIK PORSELAIN.....	15
3.3.1 Karakterisasi Resonator <i>Cavity</i> Silindris yang Dibebani Dielektrik Porselain.....	16
3.4 PERANCANGAN FILTER CAVITY SILINDRIS YANG DIBEBANI DIELEKTRIK PORSELAIN TINGKAT 2.....	19
3.4.1 Karakterisasi Filter <i>Cavity</i> Silindris yang Dibebani Dielektrik Porselain Tingkat 2.....	19
3.4.2 Hasil Akhir Perancangan Filter <i>Cavity</i> Silindris yang Dibebani Dielektrik Porselain Tingkat 2	22
3.5 PERANCANGAN FILTER CAVITY SILINDRIS YANG DIBEBANI DIELEKTRIK PORSELAIN TINGKAT 4.....	26
3.5.1 Karakterisasi Filter <i>Cavity</i> Silindris yang Dibebani Dielektrik Porselain Tingkat 4.....	26
3.5.2 Hasil Akhir Perancangan Filter <i>Cavity</i> Silindris yang Dibebani Dielektrik Porselain Tingkat 4	26
3.6 PERBANDINGAN HASIL SIMULASI PERANCANGAN 2 POLE DENGAN 4 POLE FILTER CAVITY SILINDRIS YANG DIBEBANI DIELEKTRIK PORSELAIN.....	28
3.7 METODA FABRIKASI DAN PENGUKURAN.....	28
3.7.1 Metoda Fabrikasi.....	29
3.7.1.1 Metoda Fabrikasi Porelain	29
3.7.1.2 Metoda Fabrikasi <i>Cavity</i>	29
3.7.2 Metoda Pengukuran	29
BAB 4 HASIL FABRIKASI DAN ANALISIS HASIL PENGUKURAN	31
4.1 HASIL FABRIKASI.....	31
4.1.1 Perbandingan dengan Ukuran Simulasi	33
4.2 HASIL PENGUKURAN	34
4.2.1 Perbandingan dengan Hasil Simulasi.....	36
4.3 ANALISA	36
BAB 5 KESIMPULAN.....	38
DAFTAR ACUAN	39

DAFTAR PUSTAKA.....	40
LAMPIRAN.....	xiv

DAFTAR GAMBAR

Gambar 2.1	karakteristik ideal empat tipe filter dasar.....	4
Gambar 2.2	Profil atenuasi sebenarnya <i>low-pass filter</i>	5
Gambar 2.3	Profil atenuasi umum dari <i>bandpass filter</i>	6
Gambar 2.4	Respon frekuensi pada <i>Low-pass filter</i>	7
Gambar 2.5	Respon frekuensi <i>high-pass filter</i>	7
Gambar 2.6	Respon frekuensi <i>bandpass filter</i>	8
Gambar 2.7	Respon frekuensi <i>bandstop filter</i>	8
Gambar 2.6	Resonator <i>Cavity</i> segi Empat.....	10
Gambar 2.7	Resonator <i>Cavity</i> silindris.....	11
Gambar 3.1	Resonator cavity silindris (a) tanpa dielektrik dan (b) dengan dielektrik.....	15
Gambar 3.2	Resonator cavity silindris yang dibebani dielektrik porselin	17
Gambar 3.3	Karakterisasi jari-jari dielektrik porselin.....	18
Gambar 3.4	Karakterisasi tinggi dielektrik porselin.....	18
Gambar 3.5	Lebar celah (iris) pada filter cavity silindris tingkat 2.....	20
Gambar 3.6	Karakterisasi lebar celah.....	20
Gambar 3.7	Feed pada filter cavity silindris yang dibebani dielektrik porselin tingkat	21
Gambar 3.8	Karakterisasi posisi feed	22
Gambar 3.9	Karakterisasi panjang feed.....	22
Gambar 3.10	Bentuk akhir dari perancangan filter cavity silindris yang dibebani dielektrik porselin tingkat 2.....	23
Gambar 3.11	Hasil akhir simulasi perancangan filter cavity silindris yang dibebani dielektrik porselin tingkat 2	23
Gambar 3.12	Distribusi medan E pada filter cavity silindris yang dibebani dielektrik porselin tingkat 2 (a) tampak samping (b) tampak atas.....	24
Gambar 3.13	Distribusi medan H pada filter cavity silindris yang dibebani dielektrik porselin tingkat 2 (a) tampak samping (b) tampak	

atas.....	25
Gambar 3.14 Bentuk akhir dari perancangan filter cavity silindris yang dibebani dielektrik porselain tingkat 4	27
Gambar 3.15 Hasil akhir simulasi perancangan filter cavity silindris yang dibebani dielektrik porselain tingkat 4.....	27
Gambar 3.16 Perbandingan hasil simulasi perancangan filter cavity silindris yang dibebani dielektrik porselain tingkat 2 dan 4.....	28
Gambar 3.17 Ilustrasi pengukuran dengan Network Analyzer	30
Gambar 4.1 Proses fabrikasi cavity (a) plat alumunium 505, (b) hasil bubut.....	31
Gambar 4.2 Proses fabrikasi porselain (a), (b) proses pembakaran, dan (c) porcelain.....	31
Gambar 4.3 Hasil fabrikasi filter cavity silindris yang dibebani dielektrik porselain tingkat 2.....	32
Gambar 4.4 Hasil pengukuran variasi dielektrik porcelain pada filter cavity tingkat 2.....	34
Gambar 4.5 Hasil pengukuran variasi panjang feed pada filter cavity tingkat 2.....	35
Gambar 4.6 Hasil pengukuran filter cavity.....	35
Gambar 4.7 Perbandingan hasil pengukuran dan simulasi.....	36

DAFTAR TABEL

Tabel 4.1	Perbandingan ukuran desain simulasi dengan hasil fabrikasi	33
Tabel 4.2	Perbandingan ukuran dimensi porcelain selama proses fabrikasi	33

BAB 1

PENDAHULUAN

1.1. LATAR BELAKANG

Dalam beberapa dekade terakhir, kemajuan teknologi komunikasi telah mengubah bagaimana manusia menjalani kehidupan sehari-hari. Saat ini, teknologi komunikasi nirkabel telah berkembang dari layanan yang tidak dikenal menjadi teknologi yang dapat digunakan untuk melayani hampir setengah dari penduduk dunia. Demikian pula dengan komputer yang saat ini memegang peranan penting dalam aktivitas sehari-hari, dan internet yang telah mengubah orientasi di dalam belajar, bekerja, berkomunikasi, dan bermain[1]

Peningkatan teknologi manufaktur semikonduktor dan elektronik serta pertumbuhan internet dan telekomunikasi seluler memungkinkan jaringan nirkabel untuk berkembang menjadi teknologi akses internet portable yang akan membuat perubahan dasar dalam penggunaan internet dengan membawa internet ke pada pengguna. Untuk dapat menyediakan dan memajukan *mobile internet access* ada dimana-mana diperlukan konsep *mobile cellular*[2].

Salah satu teknologi nirkabel yang saat ini sedang berkembang dan dapat memenuhi kebutuhan dan kriteria tersebut adalah WiMAX. WiMAX atau *worldwide Interoperability for Microwave Access* merupakan teknologi nirkabel yang memiliki *bandwidth* yang lebar dan *bit rate* yang besar. WiMAX dicetuskan oleh *WiMAX Forum* yang dibentuk pada April 2001, untuk mempromosikan interoperabilitas dan penyesuaian standar IEEE 802.16, yang secara resmi bernama *WirelessMAN* [3]. WiMAX Forum menetapkan 2 *band* frekuensi utama pada *certification profile* untuk *Fixed WiMAX* (*band* 3.5 GHz dan 5.8 GHz), sementara untuk *Mobile WiMAX* ditetapkan 4 *band* frekuensi pada *system profile release-1*, yaitu *band* 2.3 GHz, 2.5 GHz, 3.3 GHz dan 3.5 GHz [4].

Aplikasi-aplikasi nirkabel, termasuk WiMAX, sangat rentan terhadap interferensi yang disebabkan oleh frekuensi lain yang berdekatan. Untuk menghindari interferensi yang disebabkan oleh aplikasi-aplikasi lain yang memiliki frekuensi berdekatan, dibutuhkan sistem yang mampu

melewatk an frekuensi yang diinginkan dan tidak melewatk an frekuensi yang tidak diinginkan dengan memberikan atenuasi yang cukup besar. Alat tersebut adalah filter.

Filter memiliki beberapa parameter utama yang menentukan karakteristik dari filter tersebut. Parameter-parameter diantaranya adalah *insertion loss*, *ripple*, *bandwidth*, *shape faktor*, *rejection*, dan *quality factor*. Ada berbagai jenis filter dengan kelebihan dan kekurangannya. Dalam skripsi ini, filter *cavity* dipilih karena memiliki *insertion loss* yang kecil, memiliki unjuk kerja tinggi, dan dapat digunakan pada aplikasi dengan daya besar. Dalam skripsi ini disusulkan rancangan bangun dari filter *cavity* silindris yang dibebani dielektrik porcelain untuk aplikasi WiMAX pada frekuensi 2,3 GHz. Filter tersebut diharapkan mampu bekerja pada frekuensi 2,3 - 2,4 GHz dengan *bandwidth* sekitar 100 MHz, *ripple* \leq 0,5 dB, dan *insertion loss* \leq 4 dB.

1.2 TUJUAN PENULISAN

Tujuan dari skripsi ini adalah melakukan rancangan bangun filter *cavity* silindris yang dibebani dielektrik porcelain untuk aplikasi mobile WiMAX pada frekuensi 2,3 GHz (2,3 - 2,4 GHz). Pada rentang frekuensi tersebut diharapkan mempunyai *bandwidth* sekitar 100 MHz, *ripple* \leq 0,5 dB, dan *insertion loss* \leq 4 dB.

1.3 BATASAN MASALAH

Permasalahan utama pada *base station* WiMAX adalah daya yang digunakan cukup besar. Sehingga untuk aplikasi *base station* WiMAX diperlukan filter yang memiliki unjuk kerja tinggi dan mampu menangani suhu dan daya yang cukup tinggi. Filter yang memenuhi criteria tersebut adalah filter *cavity*.

Permasalahan yang akan dibahas pada skripsi ini dibatasi pada penelitian rancangan bangun filter *cavity* silindris yang dibebani dielektrik porcelain untuk aplikasi mobile WiMAX pada frekuensi 2,3 GHz, yang diharapkan memiliki *bandwidth* sekitar 100 MHz, *ripple* \leq 0,5 dB, dan *insertion loss* \leq 4 dB.

1.4 SISTEMATIKA PENULISAN

Penulisan skripsi ini akan dibagi dalam lima bagian besar, yaitu :

Bab 1 Pendahuluan

Bagian ini terdiri dari latar belakang, tujuan penulisan, batasan masalah, dan sistematika penulisan.

Bab 2 Filter *Cavity*

Bagian ini akan berisi tentang bahasan teori dasar mengenai filter, resonator, khususnya resonator *cavity* silindris, dan penggunaannya sebagai filter.

Bab 3 Simulasi Dan Perancangan Filter *Cavity*

Bagian ini memberikan penjelasan mengenai perlengkapan yang dibutuhkan dalam perancangan, material yang digunakan, penentuan ukuran *cavity* dan di elektrik, penentuan posisi dan panjang *feed*, prosedur perancangan, hasil simulasi dengan menggunakan *HFSS v.11*. Pada bagian akhir juga akan dibahas metode yang digunakan dalam melakukan fabrikasi dan pengukuran parameter filter.

Bab 4 Hasil Fabrikasi dan Analisis Hasil Pengukuran

Bagian ini berisi tentang hasil fabrikasi dan hasil pengukuran parameter filter beserta analisisnya. Hasil analisis merupakan dasar untuk membentuk kesimpulan pada penelitian ini.

Bab 5 Penutup

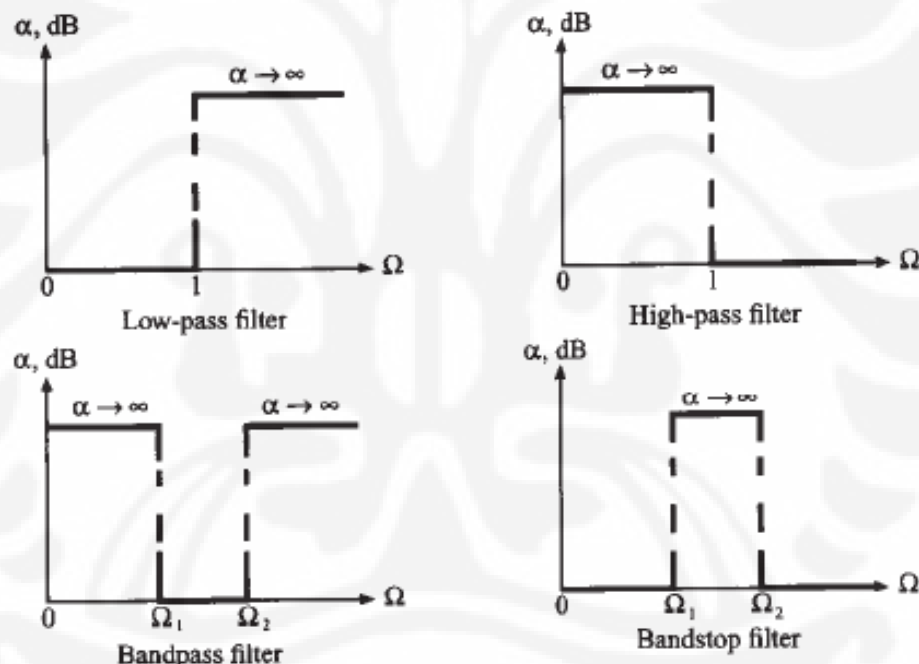
Bab ini berisi kesimpulan dari keseluruhan isi skripsi.

BAB 2

FILTER CAVITY

2.1 FILTER

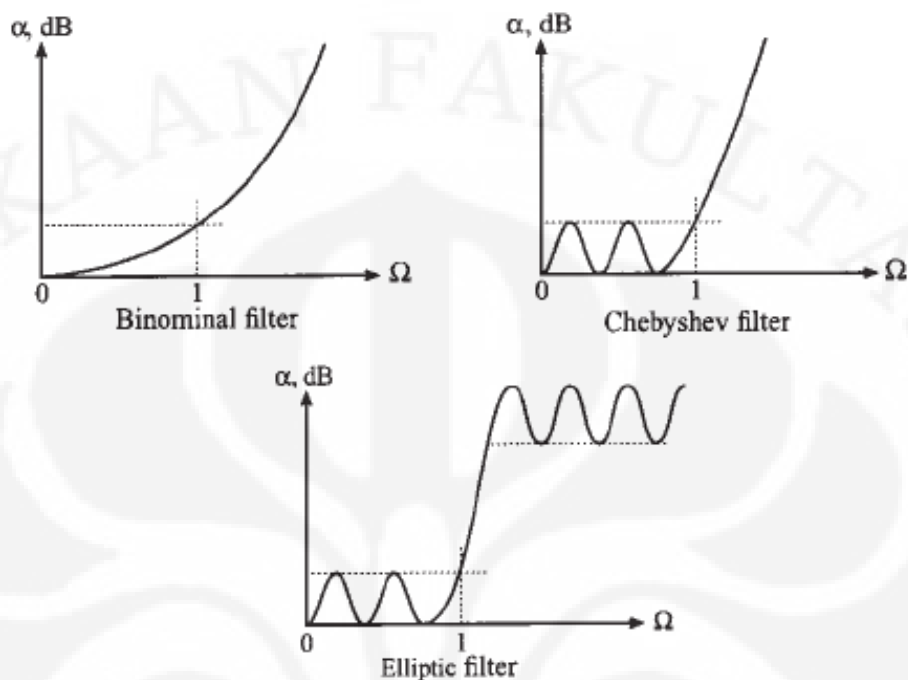
Filter adalah suatu alat yang sering digunakan dalam industri komunikasi yang berfungsi untuk memisahkan sinyal-sinyal lain yang tidak diinginkan seperti interferensi, *noise* dan distorsi. Filter akan secara selektif memilih frekuensi tertentu yang akan dilewatkan pada sistem dan memberikan atenuasi yang besar pada frekuensi yang tidak diinginkan. Filter sering digunakan pada peralatan transmisi, penerima, sampai pada peralatan pengukuran [5-7].



Gambar 2.1 karakteristik ideal empat tipe filter dasar[5]

Gambar 2.1 menunjukkan karakteristik ideal dari empat tipe filter dasar, yaitu *low-pass*, *high-pass*, *bandpass*, dan *bandstop*. Dengan α merupakan atenuasi dalam dB, $\Omega = \omega/\omega_c$ sebagai frekuensi yang telah dinormalisasi, dan ω_c menunjukkan frekuensi *cut-off* untuk *low-pass* dan *high-pass* filter dan frekuensi tengah untuk *bandpass* dan *bandstop filter*. Sedangkan untuk profile atenuasi sebenarnya untuk *low-pass* filter ditunjukkan oleh gambar 2.2 yang bisa dilihat

binomial (butterworth), chebychev, dan elliptic (cauer).



Gambar 2.2 Profil atenuasi sebenarnya *low-pass* filter[5]

Parameter-parameter utama yang memegang peranan penting dalam menganalisa *trade-off* suatu filter adalah sebagai berikut:

1. *Insertion Loss*

Idealnya, sebuah filter yang dimasukan kedalam rangkaian RF akan menunjukkan tidak ada daya yang hilang pada *passband*. Dengan kata lain memiliki 0 *insertion loss*. *Insertion loss* mengukur seberapa besar penurunan respon amplitudo daya dari garis 0 dB.

2. *Ripple*

Kedataran sinyal dari *passband* bisa diukur dengan melihat besarnya *ripple*. *Ripple* adalah perbedaan antara maksimum dan minimum respon amplitudo pada *passband* dalam dB.

3. *Bandwidth*

Bandwidth dari suatu *bandpass filter* didefinisikan sebagai perbedaan antara frekuensi atas dan frekuensi bawah ($f_L - f_U$) pada saat respon amplitudo-nya 3dB di atas respon passband.

4. Shape factor

Shape factor ini di definisikan sebagai ketinggian respon filter dengan mengambil rasio antara *bandwidth* pada 60 dB dengan *bandwidth* pada 3-dB.

5. Rejection

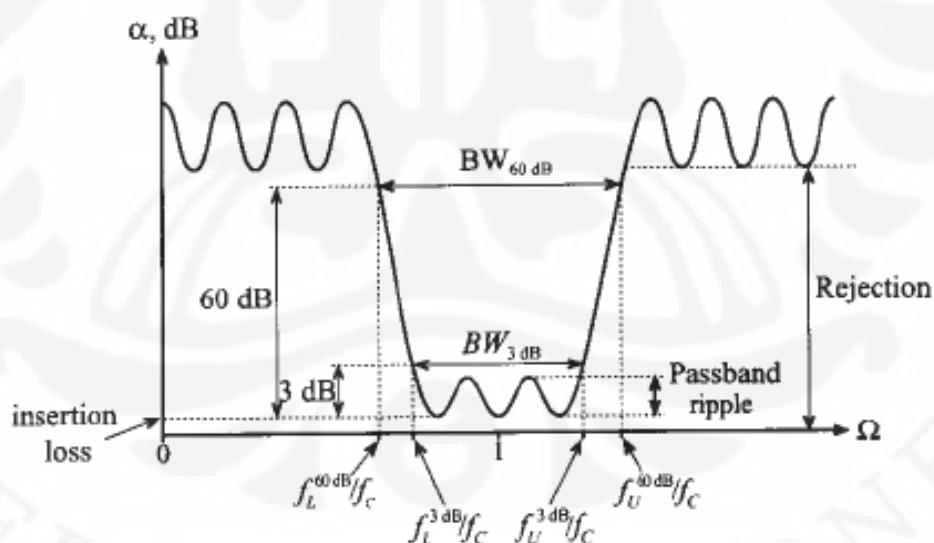
Pada filter ideal akan didapatkan tingkat atenuasi tak hingga untuk frekuensi yang tidak diinginkan. Praktis biasanya menetapkan 60 dB sebagai *rejection rate*.

6. Faktor kualitas (Q)

Faktor kualitas di definisikan sebagai besarnya rasio dari energi yang disimpan dan energi yang hilang per satuan waktu.

$$Q = \omega \frac{(\text{energi tersimpan rata-rata})}{(\text{energi hilang perperiode})} \quad (2-1)$$

Gambar 2.3 mengilustrasikan parameter-parameter utama dan profil atenuasi pada *bandpass filter*.

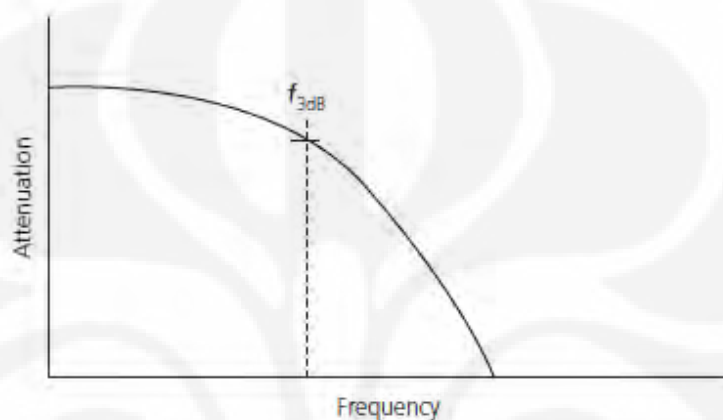


Gambar 2.3 Profil atenuasi umum dari *bandpass filter*[5]

Berdasarkan selektivitas dari filter, filter dibagi menjadi beberapa jenis yaitu *Low-pass filter*, *High-pass filter*, *Band-pass filter*, dan *Band-stop filter*.

2.1.1 Low-Pass Filter

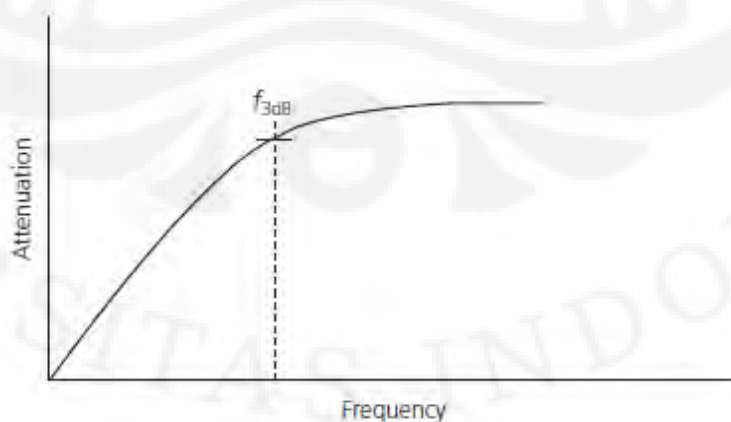
Low-pass filter digunakan untuk membatasi frekuensi yang lebih tinggi dari suatu sinyal. *Low-pass filter* akan melewatkkan frekuensi rendah atau dengan kata lain memberikan atenuasi yang tinggi pada frekuensi tinggi dan melewatkkan sinyal dengan frekuensi yang rendah. Grafik respon filter *Low-pass* dapat dilihat pada Gambar 2.4.



Gambar 2.4 Respon frekuensi pada *Low-pass* filter[6]

2.1.2 High-Pass Filter

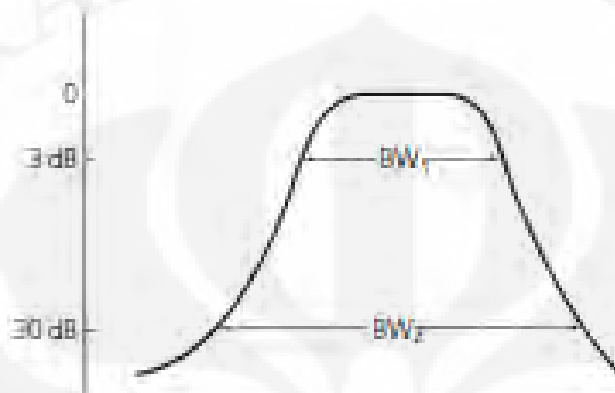
High-pass filter ini merupakan kebalikan dari *low-pass filter*. Seperti terlihat pada Gambar 2.5, *high-pass filter* digunakan untuk membatasi frekuensi yang lebih rendah dari suatu sinyal. *High-pass filter* akan melewatkkan frekuensi tinggi sampai tak terbatas.



Gambar 2.5 Respon frekuensi *high-pass* filter[6]

2.1.3 Bandpass Filter

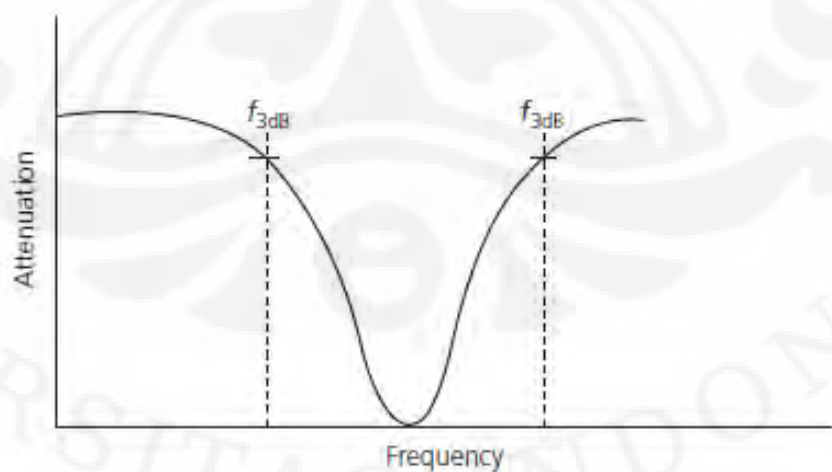
Bandpass filter adalah rangkaian yang melewaskan frekuensi pada daerah tertentu dan meredam frekuensi di luar daerah tersebut. *Bandpass filter* merupakan penggabungan dari *lowpass filter* dan *highpass filter*. Grafik respon filter *bandpass* dapat dilihat pada Gambar 2.6.



Gambar 2.6 Respon frekuensi *bandpassfilter*[6]

2.1.4 BandStop Filter

Bandstop filter bekerja dengan meredam frekuensi pada daerah tertentu dan melewaskan frekuensi diluar daerah tersebut. *Bandstop filter* akan meredam frekuensi diantara frekuensi-frekuensi *passband*. Grafik respon filter *bandstop* dapat dilihat pada Gambar 2.7.



Gambar 2.7 Respon frekuensi *bandstopfilter*[6]

2.2 FILTER CAVITY

Ada beberapa jenis filter dengan kelebihan dan kekurangannya. Dalam skripsi ini, filter *cavity* dipilih karena memiliki *insertion loss* yang kecil, memiliki unjuk kerja yang bagus, dan dapat digunakan pada aplikasi yang berdaya besar. Karena itu, filter *cavity* sangat cocok digunakan untuk aplikasi pada *base station*. Filter *cavity* dapat dibuat dari beberapa resonator *cavity* yang digabung bersamaan.

2.2.1 Resonator *Cavity*

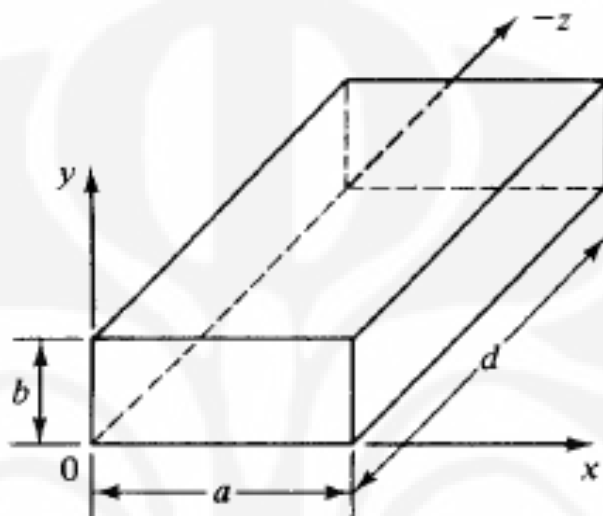
Secara umum, resonator *cavity* adalah sebuah konduktor tertutup yang dapat menyimpan energi gelombang elektromagnetik. Energi medan magnet dan medan listrik yang disimpan akan menentukan nilai ekivalen dari induktansi dan kapasitansi, sedangkan energi yang terdisipasi pada dinding konduktor akan menentukan nilai ekivalen dari resistansi. Nilai yang menyebabkan resonator *cavity* juga dapat dikategorikan sebagai salah satu jenis rangkaian resonan dan dapat digunakan sebagai filter [7].

Pada frekuensi di atas 1.000 MHz, rangkaian resonan lainnya akan memiliki nilai kualitas faktor Q yang relatif kecil, oleh karena itu dengan menggunakan dinding konduktor, nilai kualitas faktor Q bisa sangat tinggi. Resonator *cavity* dapat dibentuk dari *waveguide* yang ditutup ke dua ujungnya dengan menggunakan bahan konduktif, *waveguide* yang ditutup salah satu ujungnya saja akan menyebabkan adanya radiasi pada ujung lainnya yang terbuka sehingga jika ujung lainnya ditutup akan membentuk suatu kotak tertutup atau biasa dinamakan *cavity* [7].

Secara teori, resonator mempunyai jumlah mode resonan yang tak hingga, dan masing-masing mode memiliki nilai frekuensi resonan tertentu. Jika diberikan suatu sinyal dengan frekuensi tertentu ke dalam *cavity*, yang sama dengan frekuensi resonansi, maka nilai amplitudo maksimum dari gelombang berdiri akan muncul dan energi maksimum yang tersimpan dalam medan listrik dan medan magnet akan sama. Mode yang mempunyai nilai resonansi terkecil biasa dinamakan mode dominan [7].

2.2.2 Resonator *Cavity* Segi Empat

Medan elektromagnetik di dalam *cavity* harus memenuhi persamaan Maxwell, geometri dari resonator *cavity* segi empat dapat dilihat pada Gambar 2.8.



Gambar 2.8 Resonator *Cavity* segi Empat[7]

Persamaan gelombang pada Resonator *Cavity* segi Empat harus memenuhi kondisi batas dari tangensial nol dari \mathbf{E} pada keempat dinding *cavity*. Ini diperlukan untuk memilih fungsi harmonik pada sumbu z untuk memenuhi kondisi pada dinding lainnya di kedua ujung. Persamaan ini dapat dipenuhi jika [7]:

$$H_z = H_{0z} \cos\left(\frac{m\pi x}{a}\right) \cos\left(\frac{n\pi y}{b}\right) \sin\left(\frac{p\pi z}{d}\right) \quad (TE_{mnp}) \quad (2-2)$$

Dimana: $m = 0, 1, 2, 3, \dots$ menunjukkan jumlah periodik setengah gelombang pada sumbu x .

$n = 0, 1, 2, 3, \dots$ menunjukkan jumlah periodik setengah gelombang pada sumbu y .

$p = 0, 1, 2, 3, \dots$ menunjukkan jumlah periodik setengah gelombang pada sumbu z .

dan,

$$E_z = E_{0z} \sin\left(\frac{m\pi x}{a}\right) \sin\left(\frac{n\pi y}{b}\right) \cos\left(\frac{p\pi z}{d}\right) \quad (TM_{mnp}) \quad (2-3)$$

Dimana: m = 0,1,2,3,...

n = 0,1,2,3,...

p = 0,1,2,3,...

Persamaan pemisah untuk mode TE dan TM dapat ditulis [7]:

$$k^2 = \left(\frac{m\pi}{a}\right)^2 + \left(\frac{n\pi}{b}\right)^2 + \left(\frac{p\pi}{d}\right)^2 \quad (2-4)$$

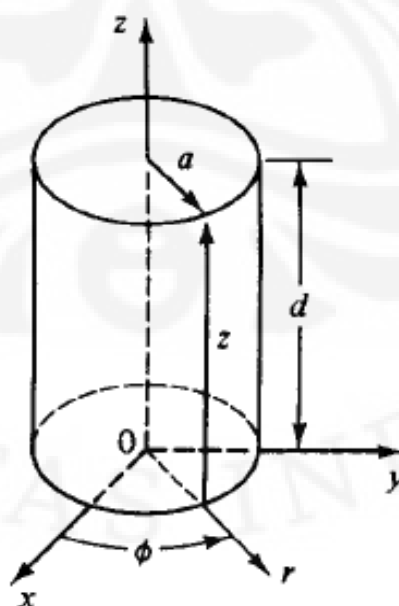
Untuk *lossless* dielektrik, $k^2 = \omega^2 \mu \epsilon$, oleh karena itu frekuensi resonansi pada dirumuskan dengan persamaan [7]:

$$f_r = \frac{1}{2\sqrt{\mu\epsilon}} \sqrt{\left(\frac{m}{a}\right)^2 + \left(\frac{n}{b}\right)^2 + \left(\frac{p}{d}\right)^2} \quad (TE_{mnp}, TM_{mnp}) \quad (2-5)$$

Untuk $a > b < d$, mode dominan dari resonator ini adalah mode TE_{101} .

2.2.3 Resonator Cavity Silindris

Resonator *cavity* silindris adalah *waveguide* silindris dengan kedua ujungnya ditutup oleh dinding konduktor (Gambar 2.9). Fungsi gelombang dalam circular resonator harus memenuhi persamaan Maxwell.



Gambar 2.9 Resonator *Cavity* silindris[7]

Sama seperti persamaan gelombang pada resonator *cavity* segi empat, pada resonator *cavity* silindris persamaan gelombang harus memenuhi kondisi batas dari tangensial nol dari E pada keempat dinding *cavity*. Ini diperlukan untuk memilih fungsi harmonik pada sumbu z untuk memenuhi kondisi pada dinding lainnya di kedua ujung. Persamaan ini dapat dipenuhi jika [7]:

$$H_z = H_{0z} J_n \left(\frac{X'_{np}}{a} r \right) \cos(n\phi) \sin\left(\frac{q\pi z}{d}\right) \quad (TE_{npq}) \quad (2-6)$$

Dimana: $n = 0, 1, 2, 3, \dots$ menunjukkan jumlah periodik setengah gelombang pada Φ .

$p = 0, 1, 2, 3, \dots$ menunjukkan jumlah pembuat nol pada medan di radial.

$q = 0, 1, 2, 3, \dots$ menunjukkan jumlah setengah gelombang pada sumbu aksial.

J_n = fungsi Bessel tingkat pertama.

H_{0z} = Amplitudo dari medan magnet.

Dan,

$$E_z = E_{0z} J_n \left(\frac{X'_{np}}{a} r \right) \cos(n\phi) \cos\left(\frac{q\pi z}{d}\right) \quad (TM_{npq}) \quad (2-7)$$

Dimana: $m = 0, 1, 2, 3, \dots$

$n = 0, 1, 2, 3, \dots$

$p = 0, 1, 2, 3, \dots$

E_{0z} = Amplitudo dari medan listrik

Persamaan lain untuk TE dan TM masing-masing adalah [7]:

$$k^2 = \left(\frac{X'_{np}}{a} \right)^2 + \left(\frac{q\pi}{d} \right)^2 \quad (\text{mode TE}) \quad (2-8)$$

$$k^2 = \left(\frac{X'_{np}}{a} \right)^2 + \left(\frac{q\pi}{d} \right)^2 \quad (\text{mode TM}) \quad (2-9)$$

Untuk *lossless* dielektrik, $k^2 = \omega^2 \mu \epsilon$, oleh karena itu frekuensi resonansi dapat dirumuskan dengan persamaan [7]:

$$f_r = \frac{1}{2\pi\sqrt{\mu\epsilon}} \sqrt{\left(\frac{X'_{np}}{a} \right)^2 + \left(\frac{q\pi}{d} \right)^2} \quad (\text{TE}) \quad (2-10)$$

$$f_r = \frac{1}{2\pi\sqrt{\mu\epsilon}} \sqrt{\left(\frac{X_{np}}{a}\right)^2 + \left(\frac{q\pi}{d}\right)^2} \quad (\text{TM}) \quad (2-11)$$

Mode dom inan da ri resonator jenis i si a adalah TM_{110} dimana pa da saat $2a > d$, dan TM_{111} pada saat $d \geq 2a$.

2.3 BAHAN DIELEKTRIK

Suatu bahan dielektrik yang mempunyai nilai permittivitas yang tinggi dan memiliki faktor kualitas (Q) yang tinggi dapat digunakan untuk menyimpan suatu energi. Salah satu karakteristik dari keramik dielektrik yang paling penting adalah nilai permittivitas (ϵ_r). Permitivitas relatif dari sebuah material akan menunjukkan seberapa besar penyimpanan energi oleh bahan dielektrik tersebut pada saat berada di bawah potensial di lewatkan ke padanya. Nilai permittivitas yang tinggi akan meminiaturisasi rangkaian gelombang pendek dikarenakan panjang gelombang pada bahan dielektrik berbanding terbalik dengan akar kuadrat dari nilai permittivitas dari dielektrik itu sendiri seperti ditunjukkan pada persamaan[8]:

$$\lambda_d = \frac{\lambda_0}{\sqrt{\epsilon_r}} \quad (2-12)$$

Dimana λ_d adalah panjang gelombang pada dielektrik sedangkan λ_0 adalah panjang gelombang di ruang hampa. Nilai permittivitas dari suatu material akan menentukan kecepatan relatif dari sinyal elektrik yang melintasi bahan dielektrik tersebut.

Pada skripsi ini, bahan dielektrik yang digunakan untuk meminiaturisasi filter *cavity* adalah porcelain. Walaupun bahan dielektrik porcelain memiliki permittivitas relatif yang tidak terlalu besar, bahan ini dipilih karena mudah didapatkan di Indonesia, mudah di fabrikasi, dan harganya jauh lebih murah bila dibandingkan dengan bahan dielektrik lainnya yang biasa digunakan pada rangkaian gelombang pendek.

BAB 3

SIMULASI DAN PERANCANGAN FILTER CAVITY

3.1 UMUM

Pada skripsi ini akan dirancang filter *cavity* silindris yang dibebani dielektrik porselein untuk aplikasi WiMAX pada frekuensi 2,3 GHz. Filter tersebut diharapkan mampu bekerja pada frekuensi 2,3 – 2,4 GHz dengan *bandwidth* sekitar 100 MHz, *ripple* $\leq 0,5$ dB, dan *insertion loss* ≤ 1 dB. Keramik porselein sebagai bahan di elektrik yang digunakan pada simulasi memiliki permitivitas 5,7 dan nilai *loss tangent* 0. Walaupun porselein memiliki nilai relatif permitivitas (ϵ_r) yang rendah, porselein tetap dipilih karena bahan ini mudah didapatkan di Indonesia, mudah di fabrikasi, dan harganya jauh lebih murah bila dibandingkan dengan bahan dielektrik lainnya yang biasa digunakan.

Ada beberapa tahapan dalam perancangan filter *cavity* silindris yang dibebani dielektrik porselein, tahapan pertama adalah merancang resonator *cavity* silindris yang dibebani di elektrik porselein. Perancangan dilakukan dengan menentukan terlebih dahulu ukuran dari resonator *cavity* silindris dan ukuran dari bahan dielektrik, dalam hal ini adalah porselein, yang dibebani ke dalam resonator *cavity* silindris. Tahapan selanjutnya adalah merancang filter *cavity* silindris yang dibebani dielektrik porselein dengan menggunakan resonator *cavity* silindris yang dibebani di elektrik porselein yang telah diperoleh sebelumnya. Filter *cavity* silindris yang dibebani di elektrik porselein yang dirancang pada skripsi ini, disusun dari dua dampat buah resonator *cavity* silindris yang dibebani dielektrik porselein.

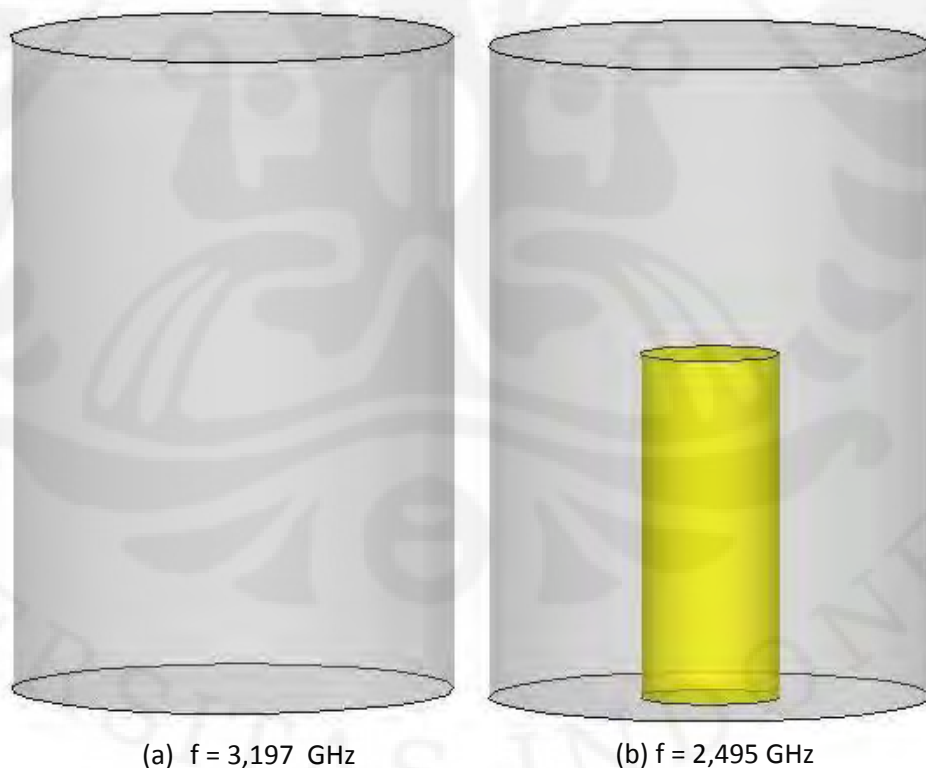
3.2 PERLENGKAPAN YANG DIGUNAKAN

Perangkat lunak yang digunakan untuk mensimulasikan rancangan filter *cavity* silindris yang dibebani di elektrik porselein adalah perangkat lunak *Ansoft HFSS v.11*.

3.3 PERANCANGAN RESONATOR CAVITY SILINDRIS YANG DIBEBANI DIELEKTRIK PORSELAIN

Langkah awal dari rancangan filter *cavity* silindris yang dibebani dielektrik porselin adalah mendapatkan nilai dari ukuran-ukuran pada resonator *cavity* silindris yang dibebani dielektrik porselin. Resonator *cavity* silindris yang dibebani dielektrik porselin tersebut harus memiliki frekuensi resonan yang sedikit lebih tinggi dari frekuensi tengah filter *cavity* silindris yang dibebani dielektrik porselin yang akan dirancang.

Resonator *cavity* silindris yang dibebani dielektrik porselin adalah resonator *cavity* silindris yang dibebani material dielektrik berupa keramik porselin. Besar ukuran jari-jari dan tinggi dari resonator *cavity* silindris dapat diperoleh dengan menggunakan persamaan 2-10. Untuk mensimulasikan frekuensi resonan pada mode dominan dalam resonator *cavity* silindris tersebut digunakan *eigenmode solution type* pada HFSS v.11.



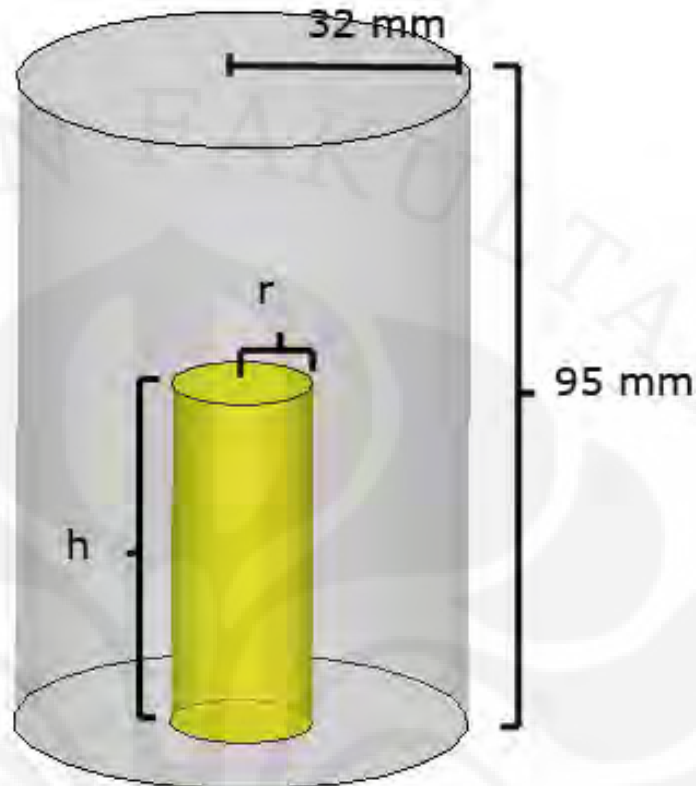
Gambar 3.1 Resonator *cavity* silindris (a) tanpa dielektrik dan (b) dengan dielektrik

Dengan membebani bahan dielektrik di dalam resonator *cavity* silindris, bisa didapatkan resonator dengan frekuensi resonan yang lebih rendah tanpa mengubah besarnya ukuran dari resonator *cavity* silindris sebelum dibebani oleh bahan dielektrik. Pada Gambar 3.1 dapat dilihat perbandingan frekuensi resonan antara resonator *cavity* silindris tanpa dibebani bahan dielektrik dengan resonator *cavity* silindris yang dibebani oleh bahan dielektrik porcelain. Frekuensi resonan dari masing-masing resonator *cavity* silindris adalah 3,197 GHz untuk resonator tanpa bahan dielektrik, dan 2,495 GHz untuk resonator dengan bahan dielektrik porcelain yang memiliki tinggi 50 mm dan jari-jari 10 mm.

Sehingga untuk mendapatkan resonator *cavity* silindris yang dibebani dielektrik porcelain yang mempunyai frekuensi resonan yang sama dengan resonator *cavity* silindris, ukuran dari resonator *cavity* silindris sebelum dibebani oleh material dielektrik porcelain harus diperkecil. Dengan kata lain, bahan dielektrik dapat digunakan untuk meminiaturisasi filter.

3.3.1 Karakterisasi Resonator *Cavity* Silindris Yang Dibebani Dielektrik Porselin

Untuk mengetahui pengaruh dari ukuran-ukuran yang digunakan dan untuk mendapatkan filter *cavity* silindris yang dibebani dielektrik porcelain sesuai dengan yang diinginkan, maka dilakukanlah karakterisasi. Karakterisasi pada rancangan resonator *cavity* silindris yang dibebani dielektrik porcelain dilakukan dengan memvariasikan besarnya ukuran diameter bahan dielektrik porcelain. Karakterisasi ukuran diameter bahan dielektrik porcelain meliputi variasi jari-jari (r) dan tinggi (h) dari bahan dielektrik porcelain yang digunakan. Gambar 3.2 memperlihatkan ukuran dari resonator *cavity* silindris yang dibebani dielektrik porcelain yang digunakan pada simulasi untuk mengkarakterisasi pengaruh perubahan dimensi dari bahan dielektrik terhadap frekuensi resonan dari resonator.



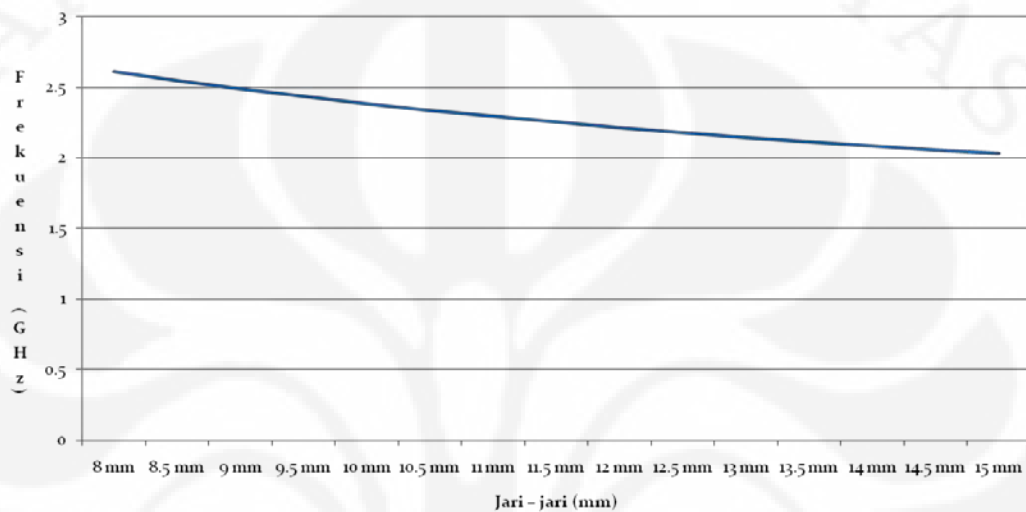
Gambar 3.2 Resonator *cavity* silindris yang dibebani dielektrik porselain

Pada karakterisasi variasi jari-jari (r) bahan dielektrik porselain, ukuran dari resonator *cavity* silindris serta jenis dan tinggi dari bahan dielektrik porselain dibuat tetap. Dengan besar jari-jari resonator *cavity* silindris 32 mm dan tinggi 95 mm, serta bahan dielektrik porselain yang digunakan memiliki nilai permittivitas relatif (ϵ_r) sebesar 5,7 dan tinggi (h) 60 mm. Gambar 3.3 memperlihatkan hubungan antara besarnya jari-jari dari bahan dielektrik pada rancangan resonator *cavity* silindris yang dibebani dielektrik porselain dengan besarnya frekuensi resonan yang didapat. Semakin besar jari-jari porselain, maka nilai dari frekuensi resonan akan semakin rendah.

Selanjutnya untuk karakterisasi variasi tinggi (h) dari bahan dielektrik porselain, ukuran dari *cavity* silindris resonator serta jenis dan jari-jari (r) dari bahan dielektrik porselain juga dibuat tetap. Dengan besar jari-jari resonator *cavity* silindris 32 mm dan tinggi 95 mm, serta bahan dielektrik porselain yang digunakan memiliki nilai permittivitas relatif (ϵ_r) sebesar 5,7 dan jari-jari (r) 10

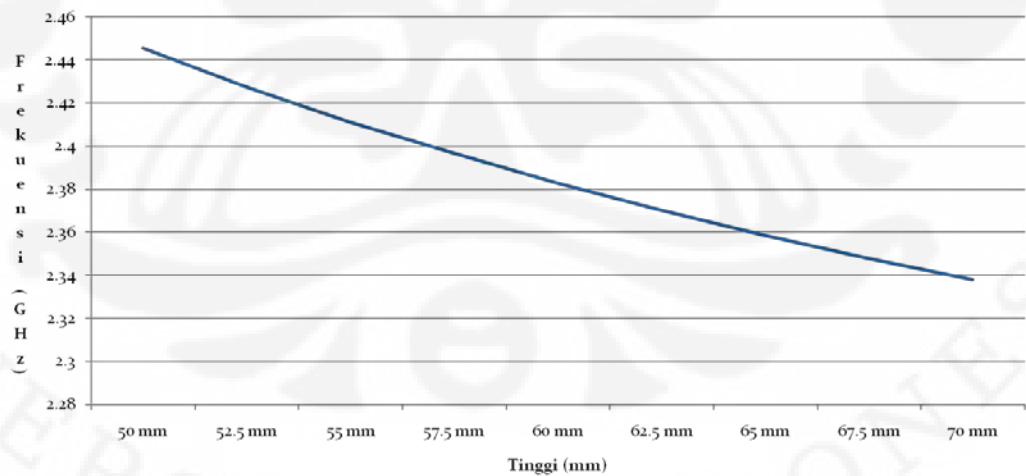
mm. Gambar 3.4 memperlihatkan hubungan antara besarnya tinggi dari batang dielektrik pada rancangan resonator *cavity* silindris yang dibebani di elektrik porselin dengan besarnya frekuensi resonan yang didapat. Semakin besar tinggi porselin, maka nilai dari frekuensi resonan akan semakin rendah.

Variasi Jari-jari Porselin



Gambar 3.3 Karakterisasi jari-jari dielektrik porselin

Variasi Tinggi Porselin



Gambar 3.4 Karakterisasi tinggi dielektrik porselin

Dari karakterisasi yang dilakukan terhadap jari-jari dan tinggi dari batang dielektrik, didapatkan hubungan yang berbanding terbalik antara nilai dari

frekuensi resonan dengan ukuran yang meliputi besarnya jari-jari dan tinggi dari bahan dielektrik. Setelah melakukan karakterisasi tersebut dapatkan nilai optimum untuk ukuran resonator cavity silindris yang dibebani dielektrik porcelain adalah dengan ukuran panjang jari-jari *cavity* 32 mm, tinggi *cavity* 95 mm, bahan dielektrik yang digunakan adalah porcelain ($\epsilon_r = 5,7$), besar jari-jari dari bahan dielektrik 10 mm, dan tinggi dari bahan dielektrik 50 mm.

3.4 PERANCANGAN FILTER CAVITY SILINDRIS YANG DIBEBANI DIELEKTRIK PORSELAIN TINGKAT 2

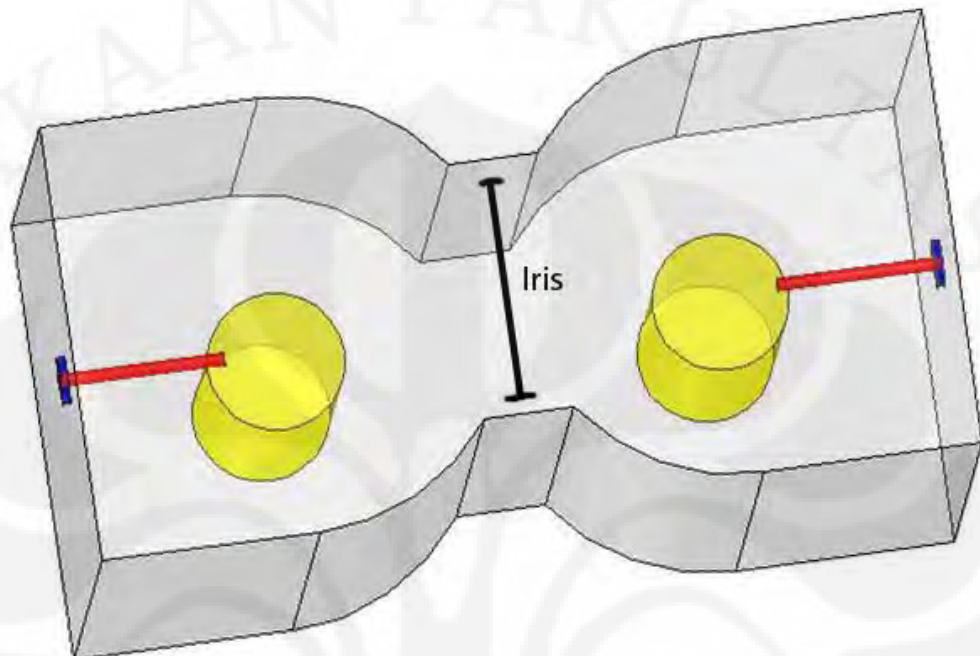
Setelah mendapatkan ukuran dari resonator *cavity* silindris yang dibebani dielektrik porcelain, filter *cavity* silindris yang dibebani dielektrik porcelain tingkat 2 bisa dibuat dengan menggabungkan dua buah resonator *cavity* silindris yang dibebani dielektrik porcelain. Untuk mensimulasikan rancangan filter *cavity* silindris yang dibebani dielektrik porcelain tingkat digunakan *Ansoft HFSS v.11* dengan *driven terminal solution type*.

3.4.1 Karakterisasi Filter *Cavity* Silindris yang Dibebani Dielektrik Porselin Tingkat 2

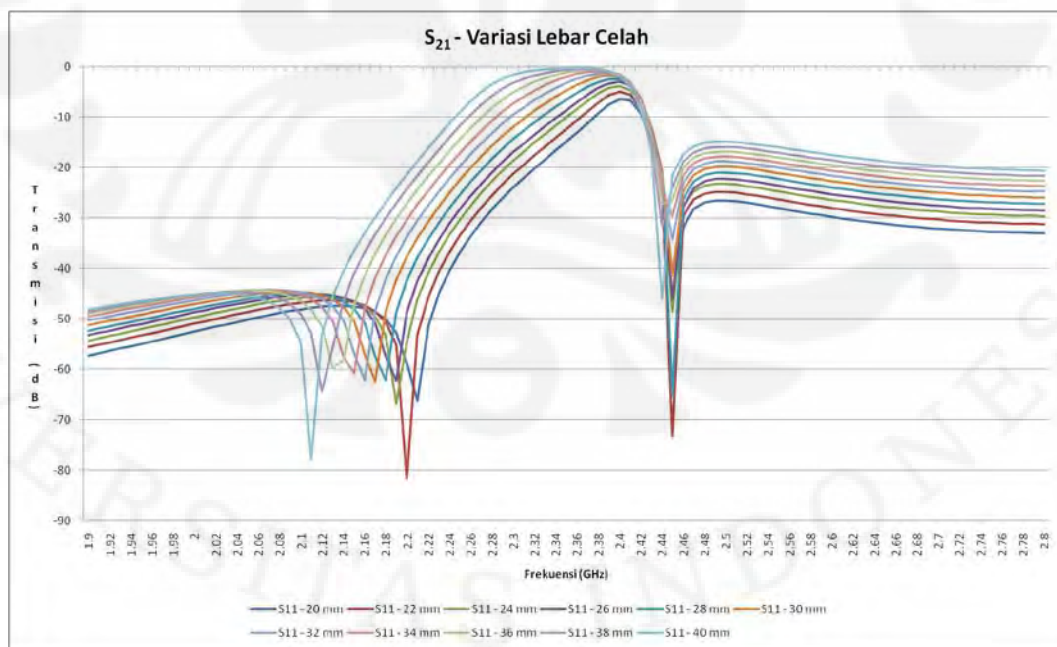
Karakterisasi yang dilakukan pada filter *cavity* silindris yang dibebani dielektrik porcelain tingkat 2 meliputi pengkarakterisasian dengan memvariasikan ukuran dari lebar celah, posisi *feed*, dan panjang *feed*. Gambar 3.5 memperlihatkan lebar celah (*iris*) pada rancangan filter *cavity* silindris yang dibebani dielektrik porcelain tingkat 2. Lebar celah di variasikan dari 20 mm sampai dengan 40 mm dengan ukuran dari jari-jari *cavity* 32 mm, tinggi *cavity* 95 mm, jari-jari bahan dielektrik porcelain 10 mm, dan tinggi bahan dielektrik porcelain 50 mm dibuat tetap.

Pada Gambar 3.6 terlihat bahwa semakin besar ukuran lebar celah pada filter *cavity* silindris yang dibebani dielektrik porcelain tingkat 2 akan menyebabkan nilai dari *low frequency cut-off* semakin turun ke frekuensi yang lebih rendah. Dengan nilai dari *high frequency cut-off* yang relatif tetap, maka *bandwidth* filter akan bertambah besar sebanding dengan perubahan lebar celah.

Akan tetapi, selain memperbesar bandwidth peningkatan lebar celah juga akan menyebabkan nilai transmisi (S_{21}) pada *rejection band* meningkat.

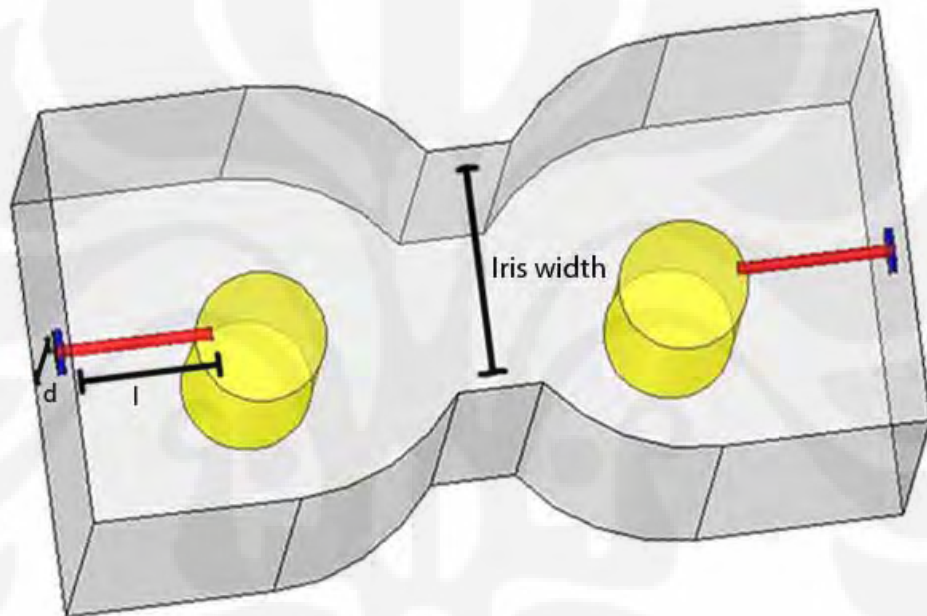


Gambar 3.5 Lebar celah (iris) pada filter *cavity* silindris tingkat 2



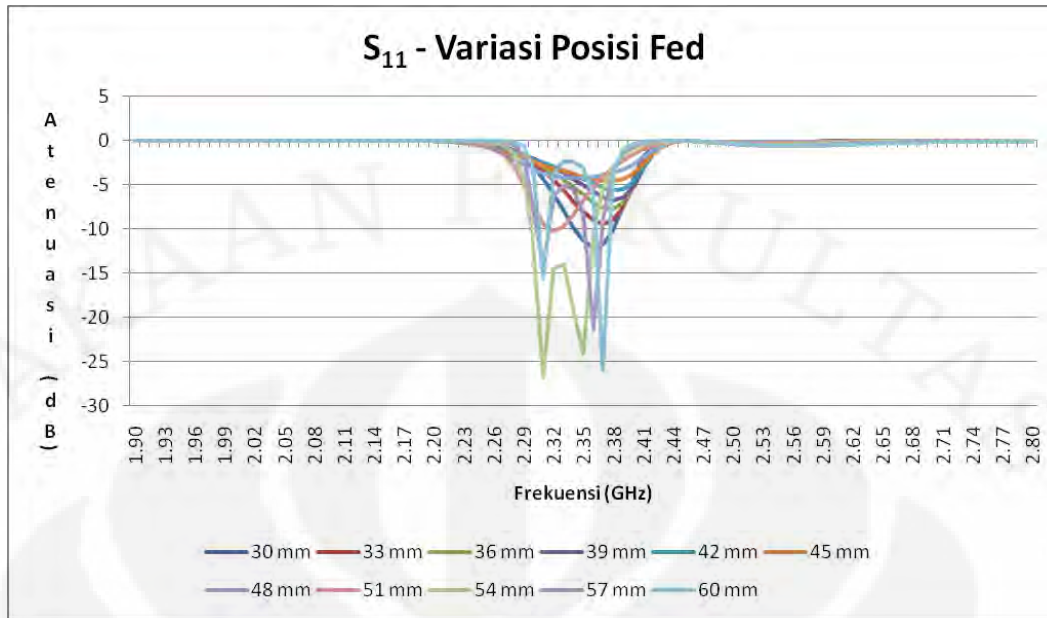
Gambar 3.6 Karakterisasi lebar celah

Gambar 3.7 memperlihatkan posisi (d) dan panjang (l) dari *feed* yang akan dikarakterisasi pada filter *cavity* silindris yang dibebani dielektrik porselin tingkat 2. Posisi *feed* divariasikan dengan ukuran diameter jari-jari *cavity* 32 mm, tinggi *cavity* 95 mm, lebar celah 37,5 mm, jari-jari bahan dielektrik porselin 10 mm, dan tinggi bahan dielektrik porselin 50 mm dibuat tetap. Karakterisasi posisi *feed* dilakukan dengan ukuran diameter panjang *feed* 22 mm, sedangkan karakterisasi panjang *feed* dilakukan dengan posisi *feed* 59 mm.

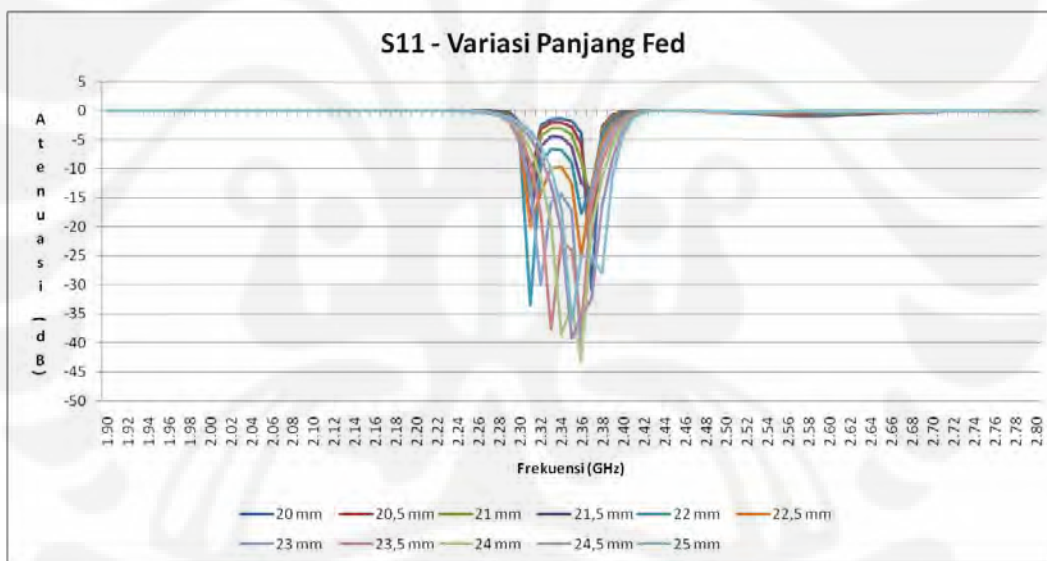


Gambar 3.7 *Feed* pada filter *cavity* silindris yang dibebani dielektrik porselin tingkat 2

Gambar 3.8 menunjukkan bahwa karakterisasi posisi *feed* dari 30 mm sampai 60 mm, sedangkan karakterisasi panjang *feed*, dari 20 mm sampai 24,5 mm, ditunjukkan oleh Gambar 3.9. Dari Gambar 3.8 dan Gambar 3.9, tidak terlihat hubungan yang linear seperti pada karakterisasi sebelumnya, dan dari kedua grafik tersebut dapat dilihat bahwa posisi dan ukuran diameter *feed* akan mempengaruhi kondisi *matching*.



Gambar 3.8 Karakterisasi posisi feed

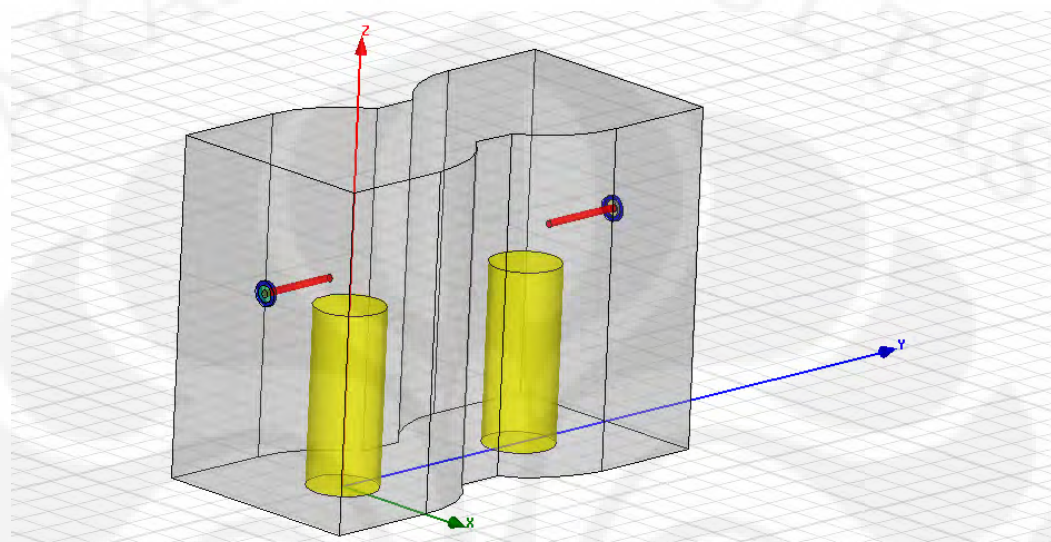


Gambar 3.9 Karakterisasi panjang feed

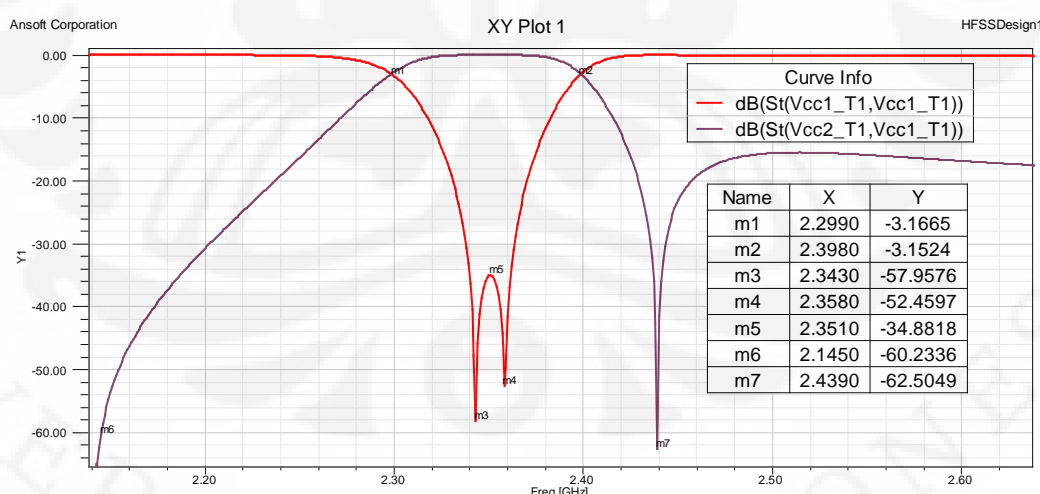
3.4.2 Hasil Akhir Perancangan Filter *Cavity* Silindris yang Dibebani Dielektrik Porselin Tingkat 2

Setelah dilakukan iterasi dan analisa karakterisasi ukuran dan dimensi baik pada filter *cavity* silindris yang dibebani dielektrik porselin tingkat 2 maupun pada resonator *cavity* silindris, bisa didapatkan ukuran yang optimal untuk filter *cavity* silindris yang dibebani dielektrik porselin tingkat 2. Ukuran dari ukuran tersebut adalah jari-jari *cavity* 32 mm, tinggi *cavity* 95 mm, lebar

celah 37,5 mm, bahan dielektrik yang digunakan adalah porselin ($\epsilon_r = 5,7$), besar jari-jari bahan dielektrik 10 mm, tinggi bahan dielektrik 50 mm, posisi *feed* 59 mm, dan panjang *feed* 24 mm. Bentuk akhir dari perancangan filter *cavity* silindris yang dibebani dielektrik porselin tingkat 2 dapat dilihat pada Gambar 3.10.



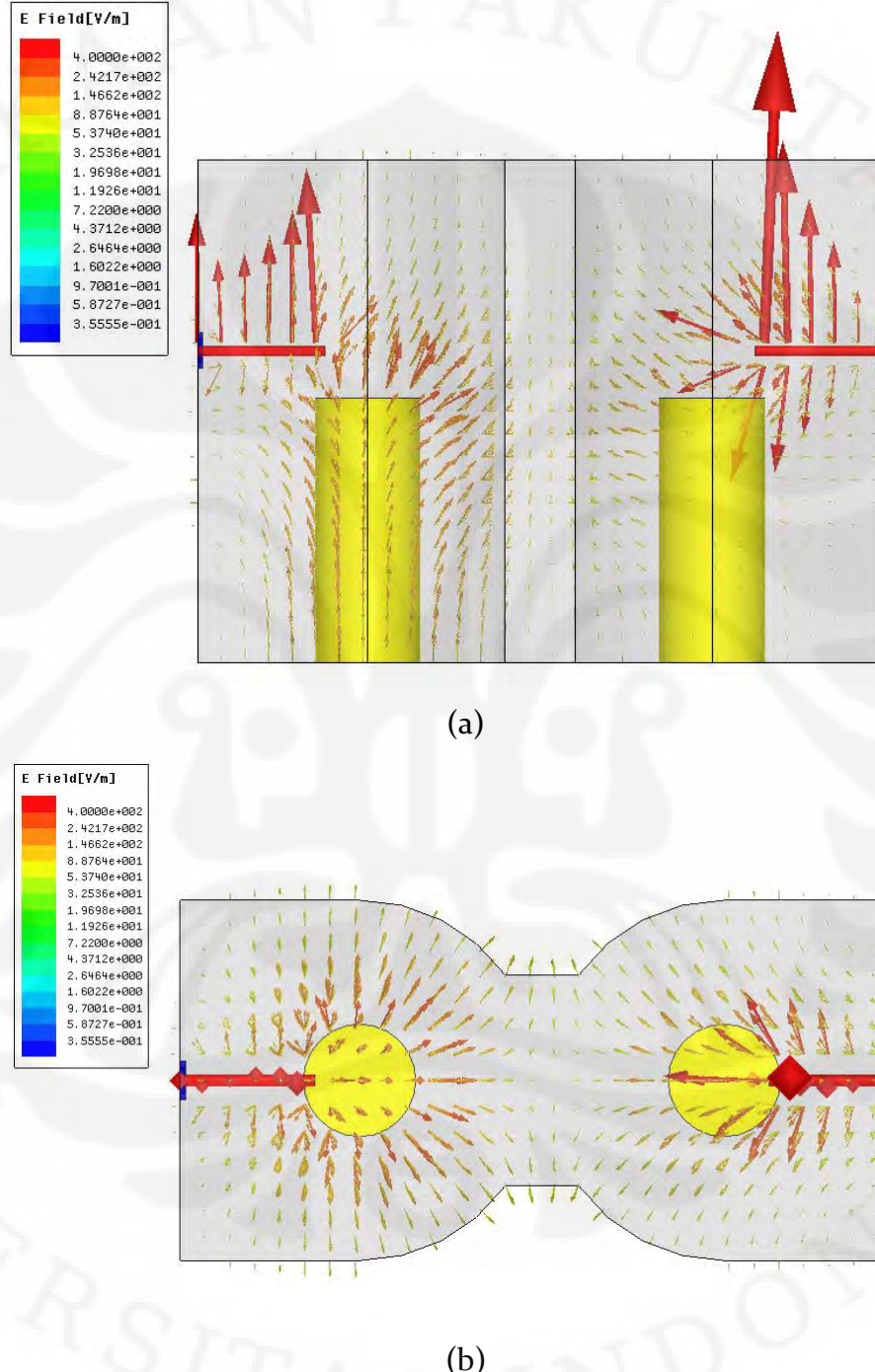
Gambar 3.10 Bentuk akhir dari perancangan filter *cavity* silindris yang dibebani dielektrik porselin tingkat 2



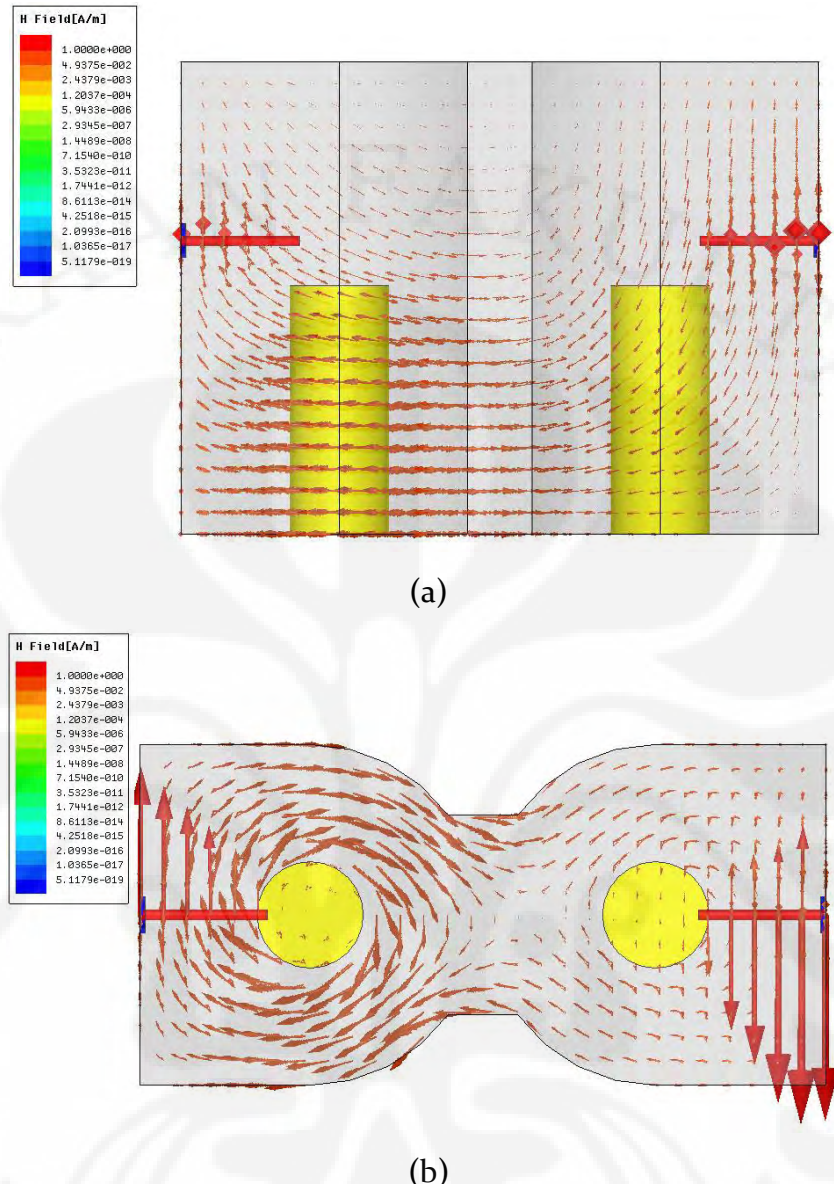
Gambar 3.11 Hasil akhir simulasi perancangan filter *cavity* silindris yang dibebani dielektrik porselin tingkat 2

Pada Gambar 3.11 dapat di lihat bahwa nilai parameter-parameter utama adalah sebagai berikut : *bandwidth* 3dB 99 M Hz (2,299 – 2,398 GHz) ,

ripple 0,006094 dB, shape factor 3, dan insertion loss 5.143×10^{-6} dB. Untuk distribusi medan E dan H dapat dilihat pada Gambar 3.12 dan 3.13.



Gambar 3.12 Distribusi medan E pada filter *cavity* silindris yang dibebani dielektrik porselin tingkat 2 (a) tampak samping (b) tampak atas



Gambar 3.13 Distribusi medan H pada filter *cavity* silindris yang dibebani dielektrik porselin tingkat 2 (a) tampak samping (b) tampak atas

Gambar 3.12 m emperlihatkan di stribusi m edan E pa da filter *cavity* silindris y ang dibebani di elektrik porselin tingkat 2. S edangkan Gambar 3.13 memperlihatkan di stribusi m edan H pa da filter *cavity* silindris y ang dibebani dielektrik porselin tingkat 2. Parameter-parameter t tersebut t elah m emenuhi harapan yang diinginkan seperti yang telah dijabarkan sebelumnya.

3.5 PERANCANGAN FILTER CAVITY SILINDRIS YANG DIBEBANI DIELEKTRIK PORSELAIN TINGKAT 4

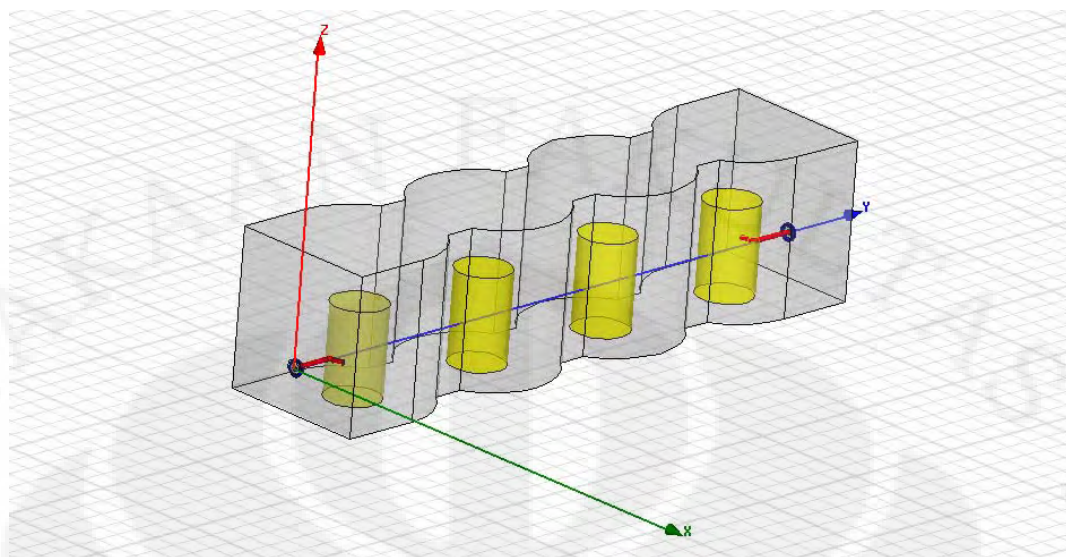
Tujuan dari perancangan filter *cavity* silindris yang dibebani di elektrik porselain tingkat 4 adalah untuk mendapatkan filter dengan parameter-parameter utama yang lebih baik. Untuk mendapatkan ukuran dari rancangan filter *cavity* silindris yang dibebani di elektrik porselain tingkat 4, dilakukan karakterisasi seperti ketika melakukan karakterisasi pada filter *cavity* silindris yang dibebani dielektrik porselain tingkat 2. Simulasi pada perancangan filter *cavity* silindris yang dibebani di elektrik porselain tingkat 4 dilakukan dengan menggunakan *driven terminal solution type* dari *Ansoft HFSS v.11*.

3.5.1 Karakterisasi Filter Cavity Silindris yang Dibebani Dielektrik Porselain Tingkat 4

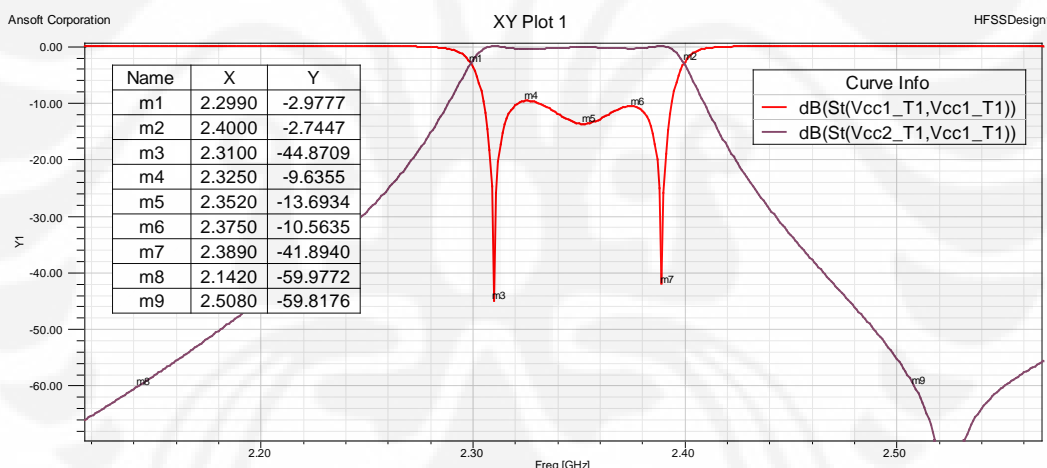
Proses karakterisasi dan hasil dari karakterisasi dari filter *cavity* silindris yang dibebani di elektrik porselain tingkat 4 hampir sama dengan proses karakterisasi pada filter *cavity* silindris yang dibebani dielektrik porselain tingkat 2. Agar bisa didapatkan ukuran yang optimal dari dimensi-dimensi pada perancangan filter *cavity* silindris yang dibebani di elektrik porselain tingkat 4, karakterisasi perlu dilakukan kembali.

3.5.2 Hasil Akhir Perancangan Filter Cavity Silindris yang Dibebani Dielektrik Porselain Tingkat 4

Setelah dilakukan analisa karakterisasi didapatkan ukuran dari filter *cavity* silindris yang dibebani dielektrik porselain yang optimal untuk saat ini. Ukuran-ukuran tersebut adalah jari-jari *cavity* 32 mm, tinggi *cavity* 65 mm, lebar celah 36 mm, bahan dielektrik yang digunakan masih porselain dengan permitivitas relatif (ϵ_r) = 5,7, jari-jari 11,5 mm, tinggi 38 mm, posisi *feed* 18,5 mm, dan untuk ukuran panjang *feed* dilakukan pengukuran keterbatasan ukuran dari *cavity*, besar sudut kelengkungannya adalah $17,5^\circ$. Bentuk akhir dari rancangan filter *cavity* silindris yang dibebani di elektrik porselain tingkat 4 dapat dilihat pada Gambar 3.14.



Gambar 3.14 Bentuk akhir dari perancangan filter *cavity* silindris yang dibebani dielektrik porselain tingkat 4

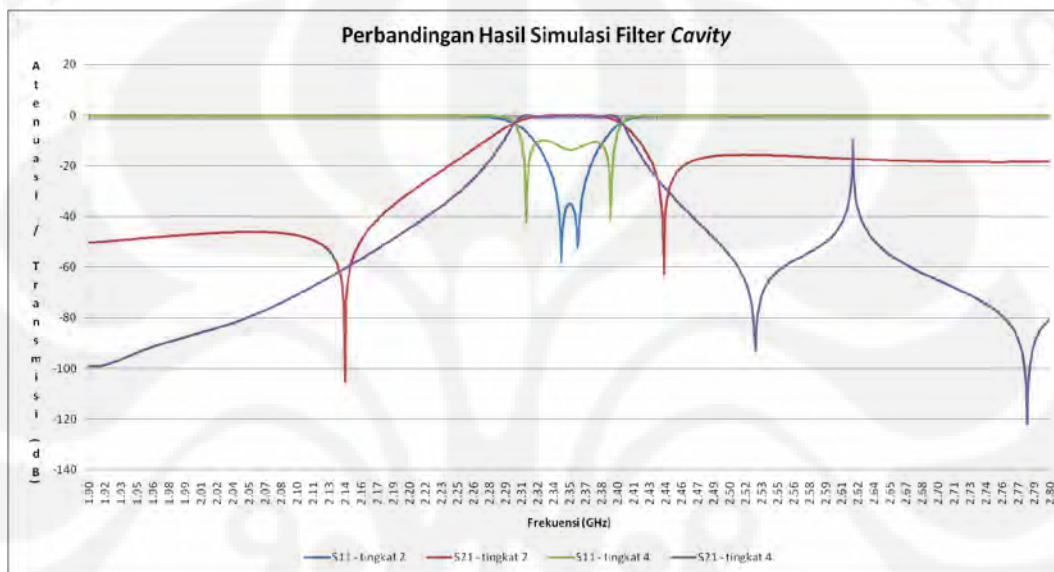


Gambar 3.15 Hasil akhir simulasi perancangan filter *cavity* silindris yang dibebani dielektrik porselain tingkat 4

Pada Gambar 3.15 dapat di lihat bahwa nilai parameter utama adalah sebagai berikut : *bandwidth* 3dB 101 MHz (2,299 – 2,400 GHz) , *ripple* 0,502447 dB, *shape factor* 4,6147, dan *insertion loss* $1,546 \times 10^{-5}$ dB. Parameter-parameter tersebut dapat dikatakan memenuhi harapan yang diinginkan seperti yang telah dijabarkan sebelumnya.

3.6 PERBANDINGAN HASIL SIMULASI PERANCANGAN 2 POLE DENGAN 4 POLE FILTER CAVITY SILINDRIS YANG DIBEBANI DIELEKTRIK PORSELAIN

Perbandingan hasil simulasi perancangan filter *cavity* silindris yang dibebani dielektrik porselain tingkat 2 dengan filter *cavity* silindris yang dibebani dielektrik porselain tingkat 2 dapat dilihat pada Grafik 3.16.



Gambar 3.16 Perbandingan hasil simulasi perancangan filter *cavity* silindris yang dibebani dielektrik porselain tingkat 2 dan 4

Dari Gambar 3.16 terlihat bahwa filter *cavity* silindris yang dibebani dielektrik porselain tingkat 2 memiliki nilai *insertion loss* dan *ripple* yang lebih baik dari filter *cavity* silindris yang dibebani dielektrik porselain tingkat 4. Tetapi untuk nilai daerah *shape factor*, filter *cavity* silindris yang dibebani dielektrik porselain tingkat 4 lebih unggul dari filter *cavity* silindris yang dibebani dielektrik porselain tingkat 2.

3.7 METODA FABRIKASI DAN PENGUKURAN

Setelah rancangan filter *cavity* silindris yang dibebani dielektrik porselain selesai di simulasi, langkah selanjutnya adalah memfabrikasi dan dilakukan pengukuran. Pada skripsi ini, rancangan simulasi yang akan difabrikasi dan diukur adalah filter *cavity* silindris yang dibebani dielektrik porselain tingkat 2.

3.7.1 Metoda Fabrikasi

Pada saat memfabrikasi hal-hal yang harus diperhatikan adalah bahan yang digunakan, kondukt or dan di elektrik, dan pr oses pembuatan, pembentukan, dan penyusunan bahan-bahan tersebut agar sesuai dengan rancangan yang telah dibuat.

3.7.1.1 Metoda Fabrikasi Porselain

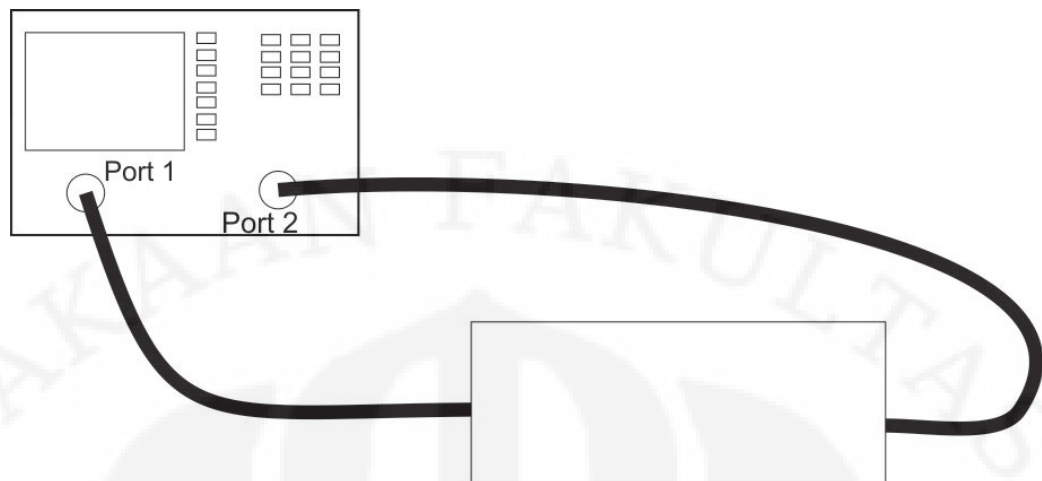
Porselain yang digunakan dalam filter *cavity* ini tersusun dari tiga bahan utama. Bahan yang pertama adalah kaolin atau *alumino-silicate* ($\text{Al}_2\text{O}_3 \cdot 2\text{SiO}_2 \cdot 2\text{H}_2\text{O}$) yang berfungsi memberikan sifat plastisitas dan setelah tercampur pada suhu tertentu menjadi padat dan kuat tanpa kehilangan bentuk. Bahan selanjutnya adalah potassium feldspar ($\text{K}_2\text{O} \cdot \text{Al}_2\text{O}_3 \cdot 6\text{SiO}_2$) yang berfungsi sebagai pengikat dan memberikan fase gelas dalam porselain. Bahan yang ketiga adalah kuarsa (SiO_2) yang berfungsi memberikan kekuatan pada porselain. Ketiga bahan tersebut dicampur dengan komposisi kaolin : feldspar : kuarsa adalah 75 : 25 : 25. Campuran tersebut kemudian dibentuk sesuai dengan ukuran dan dibakar dengan *furnace* pada suhu 1200°C.

3.7.1.2 Metoda Fabrikasi *Cavity*

Cavity dibuat dalam Alumunium dengan bentuk dan ukuran rongga sesuai dengan simulasi. Alumunium yang digunakan adalah alumunium 505 dengan ukuran 10,5 cm x 16 cm x 12,5 cm (Gambar 4.4) yang mempunyai berat jenis sebesar 2,7 gr/cm³. Untuk membuat rongga dalam alumunium tersebut digunakan mesin bubut (lathe machine).

3.7.2 Metoda Pengukuran

Pengukuran yang dilakukan adalah pengukuran S-parameter dengan menggunakan Network Analyzer. Untuk mendapatkan nilai S-parameter (S_{11} dan S_{21}) pengukuran dilakukan dengan menghubungkan port 1 pada Network Analyzer dengan salah satu koneksi N pada filter *cavity* silindris dan menghubungkan port 2 Network Analyzer pada koneksi lainnya seperti pada Gambar 3.17.



Gambar 3.17 Ilustrasi pengukuran dengan Network Analyzer

BAB 4

HASIL FABRIKASI DAN ANALISIS HASIL

PENGUKURAN

4.1 HASIL FABRIKASI

Pada skripsi ini, rancangan simulasi yang akan difabrikasi hanyalah filter *cavity* silindris yang di beban di elektrik porselain tingkat 2. Pada Gambar 4.1 terlihat bentuk *cavity* dan posisi *feed* pada aluminium 505. Pembentukan *cavity* dan *feed* dilakukan melalui proses bubut.



(a)



(b)

Gambar 4.1 Proses fabrikasi *cavity* (a) plat alumunium 505, (b) hasil bubut



(a)



(b)



Gambar 4.2 Proses fabrikasi porselein (a), (b) proses pembakaran, dan (c) porcelain

Sedangkan Gambar 4.2 memperlihatkan proses pembakaran por selain. Setelah dicetak dan dikeringkan, por selain dibakar pada suhu 1200°C selama 1 jam. Setelah mendapatkan *cavity* dan keramik porcelain, langkah selanjutnya adalah memberikan *feed* dan meletakan porcelain di dalam *cavity*. Gambar 4.3 adalah hasil rancangan filter *cavity* silindris yang dibebani dielektrik porcelain tingkat 2 setelah selesai disimulasikan dan melalui proses fabrikasi.



Gambar 4.3 Hasil fabrikasi filter *cavity* silindris yang dibebani dielektrik porcelain tingkat 2

Pada saat memfabrikasi terdapat beberapa kesalahan yang disebabkan oleh keterbatasan alat dan penggerjaan yang kurang baik. Keterbatasan tersebut terjadi pada proses pembentukan *cavity* pada aluminium dengan mesin bubut, dan proses pencetakan dan pembakaran bahan dielektrik porselain.

4.1.1 Perbandingan dengan Ukuran Simulasi

Perbandingan antara ukuran simulasi dengan ukuran hasil fabrikasi dapat dilihat pada Tabel 4.1. Pada Tabel 4.1 terlihat bahwa terdapat perbedaan ukuran antara desain simulasi dengan hasil fabrikasi dari dimensi-dimensi pada filter *cavity* silindris yang dibebani dielektrik porselain tingkat 2.

Tabel 4.1 Perbandingan ukuran desain simulasi dengan hasil fabrikasi

Ukuran		Simulasi	Fabrikasi
<i>Cavity</i>	Jari-jari	32 mm	35,2 mm
	Tinggi	95 mm	95,5 mm
	Celah	37,5 mm	39,8 mm
<i>feed</i>	Posisi	59 mm	59,5 mm
Porselain	Jari-jari	10 mm	10,55 mm
	Tinggi	50 mm	56,5 mm

Perbedaan ukuran pada dimensi *cavity* dan posisi *feed* disebabkan karena kesalahan pada proses bubut, sedangkan perbedaan ukuran pada dimensi porcelain disebabkan karena adanya penyusutan selama proses pengeringan dan pembakaran. Sehingga untuk memperoleh ukuran dari dimensi-dimensi tersebut bukanlah situasi yang sederhana. Tabel 4.2 memperlihatkan perbandingan ukuran dari dimensi porcelain selama proses fabrikasi. Perbedaan ukuran tersebut dapat menyebabkan perubahan parameter-parameter utama dan unjuk kerja dari filter *cavity*.

Tabel 4.2 Perbandingan ukuran dimensi porcelain selama proses fabrikasi

no.	cetakan		sebelum dibakar		setelah dibakar	
	r	h	r	h	r	h
1	22,1 mm	59,4 mm	21,1 mm	56,5 mm	19,2 mm	51,1 mm
2	22,1 mm	54,9 mm	21,2 mm	52,5 mm	19,25 mm	47,95 mm
3	22,1 mm	49,95 mm	21,1 mm	47,55 mm	19,2 mm	44,15 mm

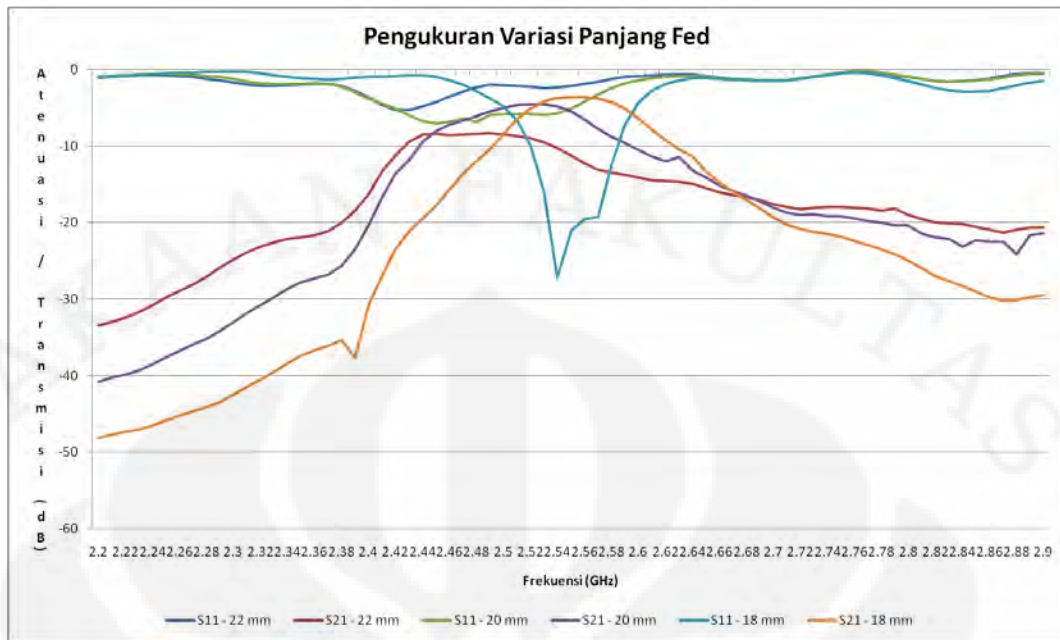
4.2 HASIL PENGUKURAN

Hasil dari pengukuran S_{11} dan S_{21} , dengan menggunakan *network analyzer*, dari filter *cavity* silindris yang dibebani di elektrik porcelain tingkat 2 setelah melalui proses fabrikasi dapat dilihat pada Gambar 4.4 dan Gambar 4.5. Pada Gambar 4.4 terlihat bahwa dengan membebani dielektrik porcelain ke dalam filter *cavity*, frekuensi resonan dari filter akan menjadi lebih rendah.



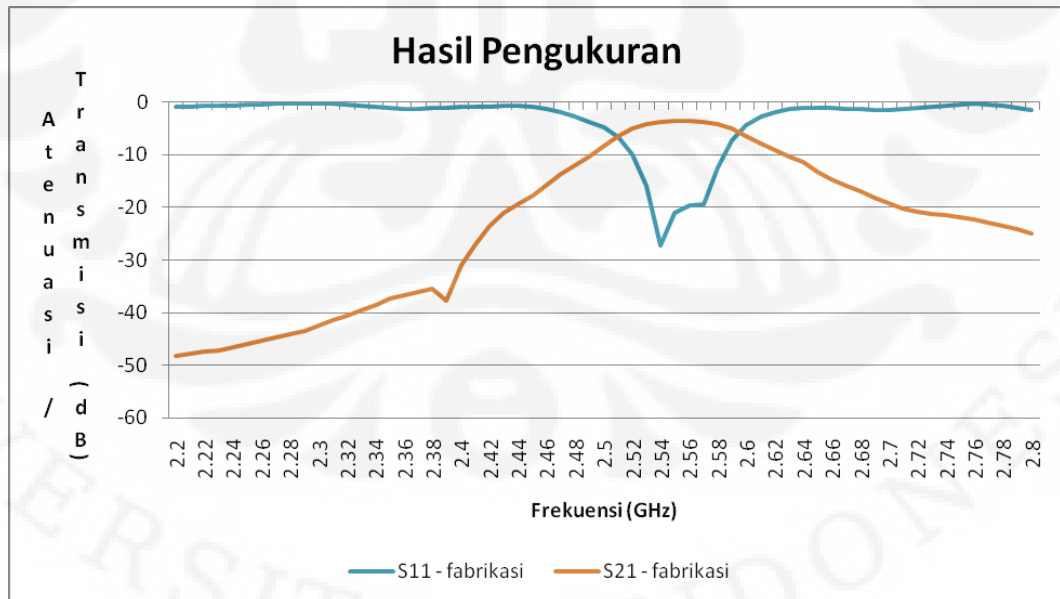
Gambar 4.4 Hasil pengukuran variasi dielektrik porcelain pada filter *cavity* tingkat 2

Sedangkan pada Gambar 4.5, terlihat bahwa perubahan posisi *feed* akan mempengaruhi kondisi *matching* dari filter *cavity*. Untuk dimensi dari *cavity* dan posisi *feed*, tidak dilakukan variasi pada pengukuran karena biaya yang diperlukan untuk membuat *cavity* cukup besar. Sehingga pada skripsi ini koreksi yang masih dapat dilakukan adalah pada ukuran dimensi porcelain dan panjang *feed*.



Gambar 4.5 Hasil pengukuran variasi panjang feed pada filter *cavity* tingkat 2

Hasil dari pengukuran S_{11} dan S_{21} , dengan menggunakan *network analyzer*, dari filter *cavity* silindris yang dibebani di elektrik porcelain tingkat 2 yang terbaik sampai saat ini diperlihatkan pada Gambar 4.6.

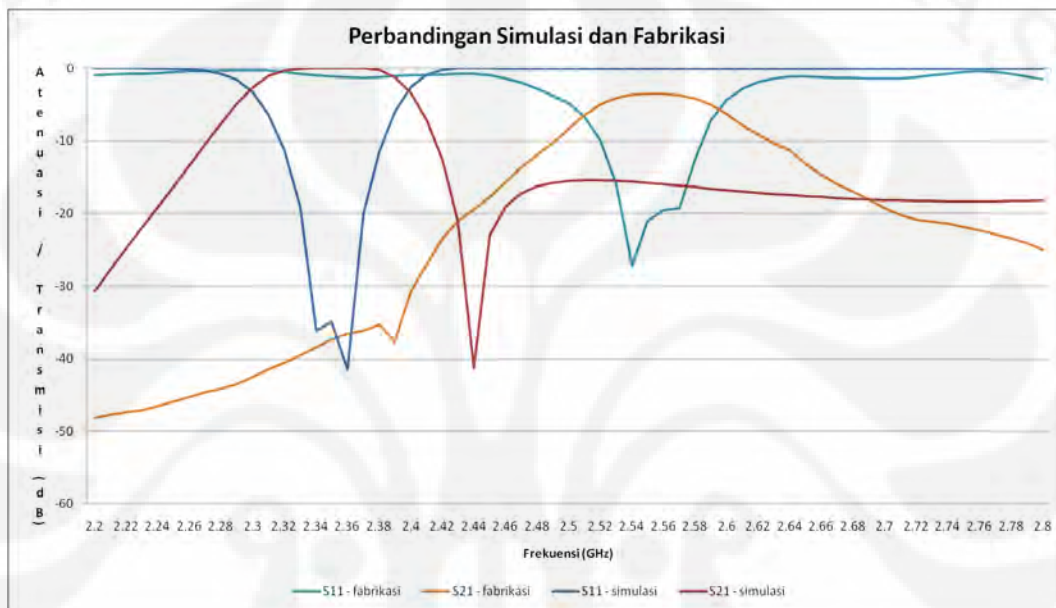


Gambar 4.6 Hasil pengukuran filter *cavity*

Nilai dari parameter-parameter utama adalah sebagai berikut : *bandwidth* 3dB 90 MHz (2,51 – 2,6 GHz), *ripple* 0,235 dB, dan *insertion loss* 3,745 dB.

4.2.1 Perbandingan dengan Hasil Simulasi

Perbandingan hasil simulasi dan fabrikasi dari perancangan filter *cavity* silindris yang dibebani di elektrik porselein tingkat 2 dapat dilihat pada Gambar 4.7. Dari Gambar 4.7 terlihat bahwa terjadi pergeseran frekuensi resonansi, penurunan nilai *insertion loss*, peningkatan *return loss*, dan perubahan *shape factor* hasil fabrikasi filter *cavity* tingkat 2 dibandingkan dengan hasil simulasi.



Gambar 4.7 Perbandingan hasil pengukuran dan simulasi

4.3 ANALISA

Pada dasarnya dan simulasi filter *cavity* pada Gambar 3.13, hasil yang diperoleh cukup baik dengan nilai dari parameter-parameter utama adalah sebagai berikut : *bandwidth* 3dB 101 MHz ($2,299 - 2,400$ GHz), *ripple* 0,502447 dB, *shape factor* 4,6147, dan *insertion loss* $1,546 \times 10^{-5}$ dB. Parameter-parameter tersebut dapat dikatakan memenuhi harapan yang diinginkan seperti yang telah dijabarkan sebelumnya.

Sedangkan setelah dilakukan fabrikasi dan pengukuran terdapat perbedaan, seperti pada gambar 4.7. Ini dikarenakan banyaknya hal yang harus dijalankan dalam waktu yang terbatas, sehingga hasil yang dapat belum optimal. Nilai terbaik sementara dari parameter-parameter utama filter hasil fabrikasi adalah sebagai berikut : *bandwidth* 3dB 90 MHz ($2,51 - 2,6$ GHz), *ripple* 0,235 dB, dan *insertion loss* 3,745 dB. Secara garis besar ada beberapa penyebab yang

menyebabkan hasil pengukuran filter *cavity* berbeda dengan hasil simulasi atau dengan kata lain mengalami pergeseran nilai. Penyebab-penyebab itu antara lain :

1. Ukuran dimensi dari *cavity* berbeda dengan simulasi, seperti pada Tabel 4.1. Perbedaan tersebut akan mempengaruhi hal-hal sebagai berikut:
 - a. Perubahan ukuran jari-jari dan tinggi dari *cavity* yang dibuat di dalam aluminium akan mempengaruhi pergeseran frekuensi resonansi dan perubahan pada nilai faktor kualitas (*Q*) pada filter *cavity*.
 - b. Perubahan ukuran lebar celah akan menyebabkan perubahan lebar bandwidth dari filter *cavity*.
 - c. Perubahan posisi *feed* akan mempengaruhi matching impedansi pada filter *cavity*.
2. Aluminium yang digunakan untuk dijadikan cavity mempunyai nilai konduktivitas kecil, yang berarti nilai resistansi akan menjadi besar sehingga insertion loss filter *cavity* menjadi sangat besar
3. Ukuran jari-jari, tinggi dan nilai permittivitas (ϵ_r) dari bahan dielektrik porcelain tidak sesuai dengan simulasi, seperti pada Tabel 4.1. Hal tersebut akan mempengaruhi:
 - a. Perubahan dari ukuran jari-jari, tinggi dan nilai permittivitas (ϵ_r) dari bahan dielektrik porcelain akan mempengaruhi pergeseran frekuensi resonansi dari filter *cavity*.
 - b. perubahan pada nilai permittivitas (ϵ_r) dari bahan dielektrik porcelain juga akan mempengaruhi nilai faktor kualitas (*Q*) dari filter *cavity*.
4. Penggunaan ukuran bukampuran untuk membuat keramik porcelain (kaolin, feldspar, dan kuarsa) yang tidak terlalu halus, pencampuran yang kurang merata, dan proses pencetakan yang kurang baik, menyebabkan nilai loss tangent cukup besar sehingga bandwidth yang dilakukan menjadi lebih besar. Hal ini juga menyebabkan nilai dari faktor kualitas (*Q*) menurun.

Untuk memperoleh kembali parameter-parameter utama, bisa dilakukan koreksi pada filter cavity dengan mengubah ukuran dan dimensi-dimensi porcelain, cavity, dan mengatur feed agar match dengan sistem.

BAB 5

KESIMPULAN

1. Filter *cavity* memiliki *insertion loss* yang kecil, memiliki unjuk kerja yang bagus, dan dapat digunakan pada aplikasi yang berdaya besar seperti pada *base station*.
2. Bahan di elektrik yang digunakan untuk meningkatkan nilai *Q factor* dan meminiaturisasi rancangan adalah porcelain. Bahan di elektrik porcelain dipilih karena sudah didapatkan di Indonesia, sudah di fabrikasi, dan harganya jauh lebih murah dibandingkan dengan bahan di elektrik lainnya yang biasa digunakan untuk membebani filter *cavity*.
3. *Q factor* yang besar akan menyebabkan selektivitas filter meningkat dan *bandwidth* menyempit. Untuk mendapatkan filter dengan *bandwidth* yang besar dan selektivitas yang baik, bisa dilakukan dengan menambah jumlah resonator.
4. Untuk mendapatkan hasil rancangan yang optimal perlu dilakukan karakterisasi. Karakterisasi yang dilakukan dalam perancangan meliputi : ukuran *cavity*, jari-jari dan tinggi di elektrik porcelain, lebar celah, serta posisi dan panjang dari *feed*.
5. Setelah diperoleh hasil simulasi yang optimal, filter *cavity* dapat difabrikasi dan diukur. Fabrikasi yang dilakukan pada skripsi ini hanyalah fabrikasi dari rancangan filter *cavity* silindris yang dibebani di elektrik porcelain tingkat 2 dan parameter yang diukur adalah S_{11} dan S_{21} .
6. Terdapat perbedaan pada pengukuran hasil fabrikasi dengan desain simulasi dikarenakan adanya kesalahan pada proses fabrikasi. Sehingga filter hasil fabrikasi mengalami pergeseran frekuensi serta memiliki bandwidth sekitar 90 MHz (2,51 – 2,6 GHz), *ripple* 0,235 dB, dan *insertion loss* 3,745 dB.
7. Untuk memperoleh kembali parameter-parameter utama, bisa dilakukan koreksi pada filter *cavity* dengan mengubah ukuran dari dimensi-dimensi porcelain, *cavity*, dan mengatur *feed match* dengan sistem.

DAFTAR ACUAN

- [1] Andrews Jeffrey G., Arunabha Ghosh, dan Rias Muhamed, *Fundamentals of WiMAX Understanding Broadband Wireless Networking*, Prentice Hall, 2007.
- [2] Katz Marcos D., Frank H.P. Fitzek, *WiMAX Evolution Emerging Technologies and Applications*, John Willey and Sons, 2009.
- [3] Mobile Communication Laboratory, WiMAX, <http://mobilecommlab.or.id/>.
- [4] Wikipedia, <http://en.wikipedia.org>.
- [5] Ludwig Reinhold, Bretschko Pavel, *RF Circuit Design Theory and Application*, Prentice Hall, 2000.
- [6] Bowick Chris, Blyler John, dan Ajluni Cheryl, *RF Circuit Design*, Second Edition, Newnes, 2008.
- [7] Pozar David M., *Microwave Engineering*, Second Edition, John Willey and Sons, 1998.
- [8] Sebastian Mailaldil T., *Dielectric Material for Wireless Communication*, Elsevier, 2008.

DAFTAR PUSTAKA

Andrews Jeffrey G., Arunabha Ghosh, dan Rias Muhamed, *Fundamentals of WiMAX Understanding Broadband Wireless Networking*, (Prentice Hall, 2007).

Bowick, Chris., *RF Circuit Design*, (Nownes, 2002)

Collin, Robert E., *Foundations for Microwave Engineering*, (John Willey and Sons, 1992).

Katz Marcos D., Frank H.P. Fitzek, *WiMAX Evolution Emerging Technologies and Applications*, (John Willey and Sons, 2009).

Liao, Samuel Y., *Microwave Devices and Circuits*, (Prentice Hall, 1998).

Ludwig Reinhold, Bretschko Pavel, *RF Circuit Design Theory and Application*, (Prentice Hall, 2000).

Marcuvitz N., *Waveguide Handbook*, (1986).

Pozar, David.M., *Microwave Engineering*, (USA: John Willey and Sons,1998).

Sebastian Mailaldil T., *Dielectric Material for Wireless Communication*, (Elsevier, 2008).

Ulaby, Fawwaz T., *Fundamentals of applied Electromagnetics*, (USA: Prentice Hall, 2001).

LAMPIRAN

A. Pengukuran Variasi Tinggi Porselin

Frequensi (GHz)	Tanpa Keramik		43mm		56mm		Keramik 43mm	
	S11	S21	S11	S21	S11	S21	S11	S21
2.2	-0.937	-41.772	-1.013	-37.613	-1.073	-33.406	-1.119	-38.775
2.21	-0.83	-41.198	-0.907	-37.092	-0.967	-32.919	-0.875	-38.216
2.22	-0.706	-40.673	-0.789	-36.024	-0.855	-32.427	-0.782	-37.772
2.23	-0.615	-40.011	-0.706	-35.957	-0.791	-31.678	-0.714	-37.771
2.24	-0.541	-39.114	-0.648	-35.007	-0.76	-30.723	-0.735	-36.275
2.25	-0.446	-38.132	-0.587	-34.032	-0.748	-29.72	-0.61	-35.348
2.26	-0.408	-37.305	-0.584	-33.125	-0.805	-28.927	-0.636	-34.491
2.27	-0.411	-36.543	-0.635	-32.206	-0.93	-28.06	-0.77	-33.681
2.28	-0.512	-35.33	-0.8	-31.282	-1.174	-27.04	-0.919	-32.764
2.29	-0.639	-34.664	-0.98	-30.099	-1.438	-25.861	-1.093	-31.605
2.3	-0.781	-33.544	-1.192	-28.876	-1.715	-24.747	-1.277	-30.355
2.31	-0.922	-33.501	-1.37	-27.817	-1.94	-23.854	-1.507	-29.234
2.32	-1.127	-31.587	-1.584	-26.942	-2.114	-23.157	-1.659	-28.296
2.33	-1.291	-30.709	-1.713	-26.083	-2.172	-22.554	-1.611	-27.39
2.34	-1.315	-29.835	-1.679	-25.284	-2.075	-22.122	-1.483	-26.578
2.35	-1.226	-29.202	-1.546	-24.721	-1.946	-21.892	-1.251	-26.072
2.36	-1.041	-28.855	-1.324	-24.436	-1.813	-21.683	-0.927	-25.832
2.37	-0.823	-28.419	-1.147	-23.878	-1.828	-21.091	-0.735	-25.466
2.38	-0.574	-27.612	-1.041	-22.899	-2.168	-19.98	-0.526	-24.715
2.39	-0.391	-26.42	-1.092	-21.678	-2.745	-18.404	-0.59	-23.078
2.4	-0.355	-25.154	-1.341	-20.671	-3.575	-16.325	-0.827	-23.33
2.41	-0.484	-24.112	-1.799	-19.988	-4.558	-13.37	-1.258	-23.525
2.42	-0.737	-23.111	-2.233	-19.803	-5.2	-11.257	-1.747	-24.207

2.43	-1.034	-21.942	-2.515	-18.587	-5.242	-9.427	-1.946	-27.234
2.44	-1.376	-20.712	-2.613	-18.223	-4.821	-8.559	-2.371	-23.054
2.45	-1.636	-19.722	-2.546	-18.421	-4.225	-8.475	-3.666	-13.544
2.46	-1.706	-19.323	-2.307	-18.767	-3.532	-8.652	-7.629	-7.287
2.47	-1.494	-19.019	-2.029	-18.692	-2.858	-8.541	-6.429	-5.754
2.48	-1.269	-18.483	-1.927	-17.664	-2.298	-8.405	-3.736	-6.285
2.49	-0.905	-17.702	-2.144	-15.392	-1.96	-8.345	-2.461	-6.586
2.5	-0.578	-16.842	-2.822	-12.566	-2.042	-8.487	-1.991	-6.734
2.51	-0.423	-16.154	-3.187	-10.365	-2.111	-8.748	-1.851	-6.899
2.52	-0.547	-15.615	-3.168	-9.258	-2.26	-9.005	-2.012	-6.994
2.53	-0.821	-14.986	-3.054	-8.917	-2.378	-9.511	-2.282	-7.001
2.54	-1.112	-14.295	-2.926	-9.073	-2.352	-10.242	-2.464	-7.105
2.55	-1.299	-13.884	-2.705	-9.677	-2.162	-11.252	-2.445	-7.651
2.56	-1.457	-13.906	-2.376	-10.56	-1.843	-12.323	-2.219	-8.561
2.57	-1.455	-14.112	-2.023	-11.407	-1.61	-13.104	-1.967	-9.512
2.58	-1.381	-14.267	-1.633	-12.042	-1.237	-13.471	-1.597	-10.354
2.59	-1.136	-14.365	-1.3	-12.528	-0.959	-13.799	-1.355	-11.101
2.6	-0.934	-14.574	-1.079	-13.041	-0.807	-14.151	-1.212	-11.64
2.61	-0.746	-14.883	-0.947	-13.534	-0.739	-14.451	-0.876	-12.014
2.62	-0.625	-15.002	-0.923	-13.828	-0.698	-14.586	-0.71	-12.435
2.63	-0.481	-14.864	-0.827	-13.392	-0.657	-14.635	-0.664	-12.479
2.64	-0.418	-14.325	-0.781	-13.6	-0.69	-14.924	-0.561	-12.828
2.65	-0.419	-14.843	-0.889	-14.087	-0.845	-15.497	-0.667	-13.505
2.66	-0.478	-15.201	-1.073	-14.649	-1.052	-16.07	-0.846	-14.236
2.67	-0.632	-15.488	-1.217	-15.081	-1.201	-16.436	-0.981	-14.805
2.68	-0.362	-15.598	-1.344	-15.47	-1.317	-16.695	-1.105	-15.259
2.69	-0.907	-16.054	-1.487	-15.926	-1.427	-17.09	-1.25	-15.835
2.7	-1.118	-16.047	-1.529	-16.598	-1.43	-17.607	-1.292	-16.548

2.71	-1.262	-17.312	-1.488	-17.15	-1.356	-18.002	-1.259	-17.139
2.72	-1.332	-17.905	-1.319	-17.437	-1.159	-18.291	-1.096	-17.146
2.73	-1.271	-17.354	-1.091	-17.515	-0.918	-18.115	-0.871	-17.37
2.74	-1.241	-17.395	-0.816	-17.604	-0.651	-17.941	-0.597	-17.249
2.75	-0.902	-17.321	-0.541	-17.91	-0.398	-17.94	-0.316	-17.747
2.76	-0.601	-17.364	-0.297	-18.446	-0.207	-18.081	-0.698	-17.404
2.77	-0.293	-17.491	-0.251	-19.061	-0.211	-18.21	-0.425	-17.554
2.78	-0.129	-17.591	-0.387	-19.587	-0.39	-18.406	-0.169	-17.657
2.79	-0.102	-17.735	-0.259	-20.135	-0.877	-18.204	-0.417	-17.711
2.8	-0.224	-18.196	-0.964	-20.853	-0.934	-19.004	-0.663	-18.114
2.81	-0.405	-19.021	-1.227	-21.754	-1.214	-19.503	-1.029	-18.644
2.82	-0.698	-20.054	-1.499	-22.51	-1.487	-19.997	-1.325	-19.054
2.83	-1.028	-20.177	-1.618	-22.915	-1.567	-20.135	-1.45	-19.127
2.84	-1.264	-20.649	-1.584	-23.193	-1.471	-20.216	-1.411	-19.173
2.85	-1.304	-21.262	-1.522	-23.574	-1.364	-20.594	-1.344	-19.277
2.86	-1.328	-21.957	-1.328	-23.87	-1.132	-20.886	-1.141	-19.446
2.87	-1.204	-22.407	-1.073	-23.876	-0.857	-21.272	-0.861	-19.363
2.88	-0.962	-22.407	-0.794	-23.441	-0.561	-20.909	-0.527	-18.875
2.89	-0.618	-20.192	-0.706	-22.827	-0.464	-20.658	-0.371	-18.231
2.9	-0.397	-21.776	-0.754	-22.394	-0.491	-20.689	-0.35	-17.792

B. Pengukuran Variasi Panjang Feed

Frekuensi (GHz)	22 mm		20 mm		18 mm	
	S11	S21	S11	S21	S11	S21
2.2	-1.073	-33.406	-0.916	-40.817	-0.934	-48.152
2.21	-0.967	-32.919	-0.839	-40.256	-0.904	-47.654
2.22	-0.855	-32.427	-0.753	-39.87	-0.836	-47.368

2.23	-0.791	-31.678	-0.652	-39.304	-0.769	-47.06
2.24	-0.76	-30.723	-0.597	-38.534	-0.7	-46.513
2.25	-0.748	-29.72	-0.563	-37.598	-0.565	-45.855
2.26	-0.805	-28.927	-0.621	-36.731	-0.471	-45.179
2.27	-0.93	-28.06	-0.715	-35.974	-0.384	-44.611
2.28	-1.174	-27.04	-0.829	-35.204	-0.365	-44.102
2.29	-1.438	-25.861	-0.977	-34.209	-0.368	-43.423
2.3	-1.715	-24.747	-1.251	-33.023	-0.336	-42.479
2.31	-1.94	-23.854	-1.545	-31.833	-0.381	-41.423
2.32	-2.114	-23.157	-1.771	-30.791	-0.557	-40.482
2.33	-2.172	-22.554	-1.878	-29.768	-0.808	-39.521
2.34	-2.075	-22.122	-1.88	-28.63	-1.02	-38.424
2.35	-1.946	-21.892	-1.855	-27.841	-1.171	-37.353
2.36	-1.813	-21.683	-1.797	-27.318	-1.299	-36.603
2.37	-1.828	-21.091	-1.871	-26.803	-1.327	-36.081
2.38	-2.168	-19.98	-2.245	-25.62	-1.246	-35.328
2.39	-2.745	-18.404	-2.977	-23.478	-1.113	-37.699
2.4	-3.575	-16.325	-3.813	-20.35	-1.014	-30.802
2.41	-4.558	-13.37	-4.425	-16.805	-0.955	-26.999
2.42	-5.2	-11.257	-5.114	-13.631	-0.88	-23.465
2.43	-5.242	-9.427	-6.01	-11.811	-0.758	-21.081
2.44	-4.821	-8.559	-6.765	-9.388	-0.78	-19.434
2.45	-4.225	-8.475	-7.017	-8.032	-1.012	-17.716
2.46	-3.532	-8.652	-6.833	-7.205	-1.447	-15.668
2.47	-2.858	-8.541	-6.375	-6.666	-2.019	-13.659
2.48	-2.298	-8.405	-6.845	-6.109	-2.807	-11.944
2.49	-1.96	-8.345	-5.936	-5.474	-3.814	-10.269
2.5	-2.042	-8.487	-5.804	-4.942	-4.879	-8.365

2.51	-2.111	-8.748	-5.806	-4.631	-6.652	-6.475
2.52	-2.26	-9.005	-5.865	-4.521	-9.868	-5.041
2.53	-2.378	-9.511	-5.925	-4.549	-15.915	-4.14
2.54	-2.352	-10.242	-5.695	-4.805	-27.164	-3.697
2.55	-2.162	-11.252	-5.054	-5.481	-21.032	-3.58
2.56	-1.843	-12.323	-4.141	-6.551	-19.574	-3.587
2.57	-1.61	-13.104	-3.222	-7.725	-19.302	-3.745
2.58	-1.237	-13.471	-2.442	-8.734	-12.461	-4.212
2.59	-0.959	-13.799	-1.787	-9.609	-7.242	-5.081
2.6	-0.807	-14.151	-1.388	-10.498	-4.351	-6.369
2.61	-0.739	-14.451	-1.145	-11.328	-2.779	-7.855
2.62	-0.698	-14.586	-0.992	-11.952	-1.93	-9.212
2.63	-0.657	-14.635	-0.871	-11.457	-1.413	-10.397
2.64	-0.69	-14.924	-0.847	-13.164	-1.168	-11.301
2.65	-0.845	-15.497	-0.958	-14.139	-1.143	-13.25
2.66	-1.052	-16.07	-1.138	-15.102	-1.241	-14.739
2.67	-1.201	-16.436	-1.261	-15.85	-1.316	-15.955
2.68	-1.317	-16.695	-1.365	-16.464	-1.391	-16.991
2.69	-1.427	-17.09	-1.46	-17.192	-1.48	-18.101
2.7	-1.43	-17.607	-1.454	-18.021	-1.472	-19.283
2.71	-1.356	-18.002	-1.368	-18.666	-1.41	-20.255
2.72	-1.159	-18.291	-1.166	-18.964	-1.21	-20.845
2.73	-0.918	-18.115	-0.92	-18.933	-0.999	-21.171
2.74	-0.651	-17.941	-0.652	-19.213	-0.765	-21.45
2.75	-0.398	-17.94	-0.401	-19.175	-0.564	-21.842
2.76	-0.207	-18.081	-0.211	-19.478	-0.434	-22.365
2.77	-0.211	-18.21	-0.214	-19.79	-0.515	-22.902
2.78	-0.39	-18.406	-0.387	-20.041	-0.781	-23.434

2.79	-0.877	-18.204	-0.671	-20.326	-1.173	-24.076
2.8	-0.934	-19.004	-0.928	-20.327	-1.558	-24.961
2.81	-1.214	-19.503	-1.242	-21.466	-2.019	-25.99
2.82	-1.487	-19.997	-1.494	-21.944	-2.42	-26.951
2.83	-1.567	-20.135	-1.593	-22.093	-2.729	-27.658
2.84	-1.471	-20.216	-1.544	-23.111	-2.868	-28.254
2.85	-1.364	-20.594	-1.434	-22.274	-2.933	-28.995
2.86	-1.132	-20.886	-1.279	-22.511	-2.781	-29.722
2.87	-0.857	-21.272	-1.021	-22.507	-2.494	-30.192
2.88	-0.561	-20.909	-0.725	-24.143	-2.081	-30.122
2.89	-0.464	-20.658	-0.607	-21.631	-1.747	-29.718
2.9	-0.491	-20.689	-0.612	-21.357	-1.524	-29.413

C. Hasil Akhir Pengukuran

Frekuensi (GHz)	S11	S21
2.2	-0.934	-48.152
2.21	-0.904	-47.654
2.22	-0.836	-47.368
2.23	-0.769	-47.06
2.24	-0.7	-46.513
2.25	-0.565	-45.855
2.26	-0.471	-45.179
2.27	-0.384	-44.611
2.28	-0.365	-44.102
2.29	-0.368	-43.423
2.3	-0.336	-42.479
2.31	-0.381	-41.423

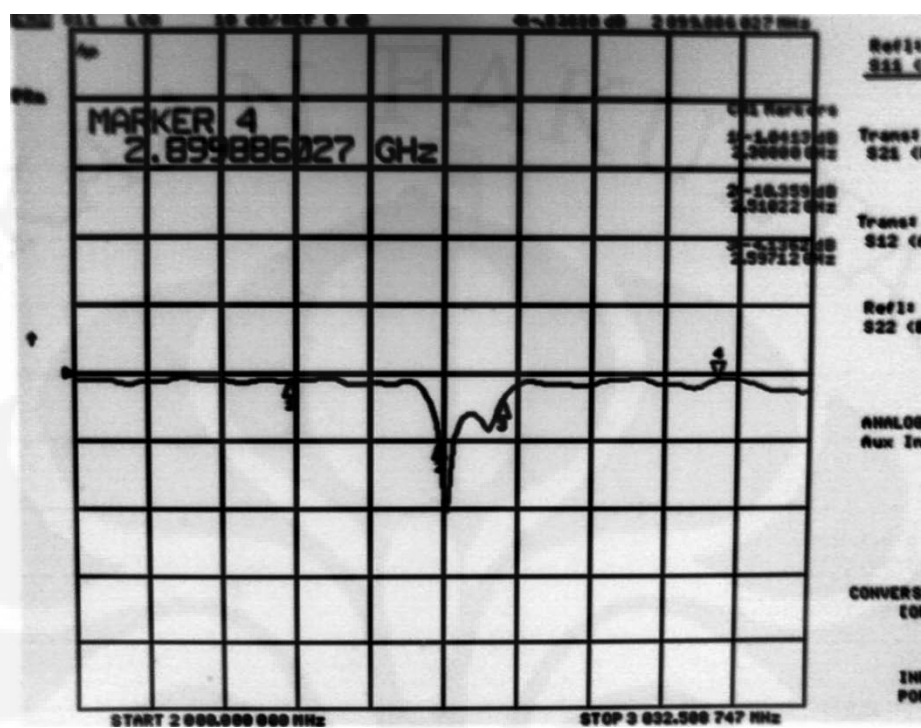
2.35	-1.171	-37.353
2.36	-1.299	-36.603
2.37	-1.327	-36.081
2.38	-1.246	-35.328
2.39	-1.113	-37.699
2.4	-1.014	-30.802
2.41	-0.955	-26.999
2.42	-0.88	-23.465
2.43	-0.758	-21.081
2.44	-0.78	-19.434
2.45	-1.012	-17.716
2.46	-1.447	-15.668
2.47	-2.019	-13.659

2.32	-0.557	-40.482
2.33	-0.808	-39.521
2.34	-1.02	-38.424
2.51	-6.652	-6.475
2.52	-9.868	-5.041
2.53	-15.915	-4.14
2.54	-27.164	-3.697
2.55	-21.032	-3.58
2.56	-19.574	-3.587
2.57	-19.302	-3.745
2.58	-12.461	-4.212
2.59	-7.242	-5.081
2.6	-4.351	-6.369
2.61	-2.779	-7.855
2.62	-1.93	-9.212
2.63	-1.413	-10.397
2.64	-1.168	-11.301
2.65	-1.143	-13.25
2.66	-1.241	-14.739
2.67	-1.316	-15.955
2.68	-1.391	-16.991
2.69	-1.48	-18.101
2.7	-1.472	-19.283

2.48	-2.807	-11.944
2.49	-3.814	-10.269
2.5	-4.879	-8.365
2.71	-1.41	-20.255
2.72	-1.21	-20.845
2.73	-0.999	-21.171
2.74	-0.765	-21.45
2.75	-0.564	-21.842
2.76	-0.434	-22.365
2.77	-0.515	-22.902
2.78	-0.781	-23.434
2.79	-1.173	-24.076
2.8	-1.558	-24.961
2.81	-2.019	-25.99
2.82	-2.42	-26.951
2.83	-2.729	-27.658
2.84	-2.868	-28.254
2.85	-2.933	-28.995
2.86	-2.781	-29.722
2.87	-2.494	-30.192
2.88	-2.081	-30.122
2.89	-1.747	-29.718
2.9	-1.524	-29.413

D. Gambar Pengukuran Akhir

a. S_{11}



b. S_{12}

